

ՀԱՅԿԱԿԱՆ ՍՍՀ  
ԳԻՏՈՒԹՅՈՒՆՆԵՐԻ ԱԿԱԴԵՄԻԱՅԻ

ՏԵԴԵԿԱԳԻՐ  
ИЗВЕСТИЯ

АКАДЕМИИ НАУК АРМЯНСКОЙ ССР

ՏԵԽՆԻԿԱԿԱՆ ԳԻՏՈՒԹՅՈՒՆՆԵՐԻ ՍԵՐԻԱ  
СЕРИЯ ТЕХНИЧЕСКИХ НАУК

ԿՐԹՈՒԹՅԱՆ ԿՈՒՑԻՍ

Կասյան Մ. Վ. (պատ. խմբագիր), Աղանց Շ. Տ. (պատ. խմբագրի տեղակալ), Ալեքսևսկի Վ. Պ.,  
Մանանյան Ա. Ա., Կոչարյան Տ. Ա., Զաղարյան Մ. Ա., Նազարով Ա. Գ., Տեր-Ազատի Ի. Ա., Փինաջ-  
յան Վ. Վ. (պատ. խմբագրի տեղակալ)  
\* անասխանատու բարոսուղար Սովիանյան Պ. Կ.

РЕДАКЦИОННАЯ КОЛЛЕГИЯ

Касьян М. В. (ответ. редактор), Агошян Г. Т. (зам. ответ. редактора), Алексеевский  
В. В., Анянян А. К., Горюхи Г. А., Задоян М. А., Назаров А. Г., Пинаджян В. В. (зам.  
ответ. редактора), Тер-Азарьян И. А.,  
Ответственный секретарь Степанян З. К.

Խմբագրության հասցեն՝ Երևան—1, Արշակունի փող. 15.  
Адрес редакции Ереван—1, ул. Абовяна, 15.

МАШИНОСТРОЕНИЕ

М. В. КАСЬЯН, Р. Г. БАГДАСАРЯН

К ВОПРОСУ ОПРЕДЕЛЕНИЯ ЭКВИВАЛЕНТНОГО ЧИСЛА  
 ОБОРОТОВ ПРИ ТОЧЕНИИ ДЕТАЛЕЙ С ПЕРЕМЕННЫМИ  
 РАЗМЕРАМИ ПО ДЛИНЕ ОБРАБОТКИ

Большинство деталей, обрабатываемых точением, отличается не постоянством диаметра вдоль длины. Возможность сохранения стабильной скорости резания [1] требует применения станков с автоматическим регулированием числа оборотов или при постоянной скорости использования системы автоматического регулирования элементов сечения среза за счет упругих перемещений. В обширном парке металло-режущих станков станки с такими возможностями исчисляются единицами. Ручное переключение скоростей неправомерно с экономических позиций. Построение же режимов работы на максимальный диаметр обработки приводит к снижению производительности при недоиспользовании режущих свойств инструмента. Поэтому разработка методики выбора так называемого эквивалентного числа оборотов, при котором обеспечивается по возможности оптимальная стойкость инструмента, представляет большой интерес и решение этой задачи актуально.

Из большого числа факторов, влияющих на интенсивность изнашивания режущего инструмента, считаем целесообразным остановиться на двух, а именно: продолжительность  $T$  и скорость резания  $V$ , учитывая, что они являются главными влияющими факторами. Величина локального износа инструмента, характеризующая данные условия резания, снижена с продолжительностью и скоростью резания выражением

$$h = C_1 \varphi V^p, \quad (1)$$

где  $C_1$ —коэффициент, характеризующий влияние остальных факторов, а  $p$  и  $q$ —показатели, определяемые экспериментально. Если в выражение (1) подставить значение конечного износа, т. е.  $h = h_k$ , то тогда  $T = T_k$ , и получим известную зависимость

$$VT^m = C_2,$$

в которой показатель относительной стойкости  $m = 1/p = p/q$ , а величина  $C_2$  будет связана с параметрами, входящими в (1), выражением:

$$C_2 = \left( \frac{h_k}{C_1} \right)^{1/q}.$$

Для определения эквивалентного числа оборотов выражение (1) запишем в следующем виде:

$$h^{1/n} = C = V_3, \quad (2)$$

За время  $d\tau$  обрабатывается часть поверхности, для которой скорость резания можно рассматривать как постоянную величину. Износ режущей части инструмента, соответствующий времени резания  $d\tau$  из уравнения (2), равен

$$CV_3 d\tau,$$

а для времени  $\tau$  будет:

$$h^{1/n} = C \int_0^{\tau} V_3 d\tau,$$

Такой же износ за то же время получится при точении цилиндрической поверхности эквивалентного диаметра  $d_3$ , для которого скорость резания  $V_3$  — постоянная величина. Следовательно, можно написать

$$CV_3^m = C \int_0^{\tau} V_3^m d\tau,$$

откуда

$$V_3^m = \frac{1}{\tau} \int_0^{\tau} V_3^m d\tau.$$

Учитывая известную зависимость эквивалентной скорости

$$V_3 = \frac{\pi d_3 n}{1000},$$

для эквивалентного диаметра получим:

$$d_3^m = \left( \frac{1000}{\pi n} \right)^m \cdot \frac{1}{\tau} \int_0^{\tau} V_3^m d\tau. \quad (3)$$

В соответствии с этим, переменную скорость резания можно заменить постоянной скоростью  $V_3$  с целью использования известных закономерностей для износа. Эта скорость резания в соответствии с материалом инструмента, его геометрией и т. д. при заранее заданной стойкости определяется выражением

$$VT^m = C_2,$$

При этом принимается, что  $m$  и  $C_2$  для данного сочетания обрабатываемого и инструментального материалов являются постоянными величинами для всех участков поверхности, подлежащей обработке [2, 3, 4].

Уравнение (3) позволяет определить эквивалентный диаметр (или эквивалентное число оборотов  $n_3 = \frac{1000 V_3}{\pi d_3}$ ) для точения поверхностей вращения, а также торцовых поверхностей.

Переменная скорость резания по мере перемещения резца вдоль образующей поверхности получается из выражения

$$V = \frac{2\pi ny}{1000} = \frac{2\pi n}{1000} f(x). \quad (4)$$

В случае обточки конической поверхности функцию  $y = f(x)$  можно записать в следующем виде:

$$y = f(x) = \frac{d_2}{2} - x \operatorname{tg} \varphi = \frac{d_2}{2} - x \frac{d_2 - d_1}{2l}.$$

Из рис. 1, а следует, что расстояние  $x$ , которое прошел резец за время  $\tau$ , может быть выражено так:  $x = n s \tau$ , где  $n$  — число оборотов

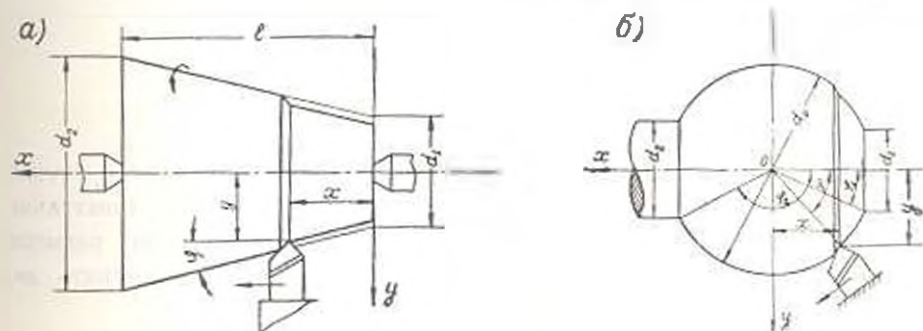


Рис. 1. К определению эквивалентного диаметра: а — конической поверхности; б — сферической поверхности.

заготовки,  $об/мин$ ;  $s$  — величина подачи,  $мм/об$ . В этом случае, учитывая выражение (4) и подставив значения  $y$  и  $x$  в уравнение (3), получим:

$$d_3 = \frac{2\pi}{\pi} \int_0^l \left( \frac{d_2}{2} - \frac{d_2 - d_1}{2l} n s \tau \right)^2 d\tau.$$

Учитывая, что  $\tau = \frac{l}{ns}$ , после интегрирования получим:

$$d_3 = \sqrt{\frac{d_2^{2+1} - d_1^{2+1}}{(2+1)(d_2 - d_1)}}. \quad (5)$$

При обработке конуса ( $d_1 = 0$ ) эквивалентный диаметр будет:

$$d_3 = \frac{d_2}{\sqrt[3]{2+1}}. \quad (5a)$$

Выведенные уравнения эквивалентного диаметра для случая точения конической поверхности аналогичны формуле для торцового точения

ния. Поэтому полученные уравнения (5) и (5а) можно использовать для определения эквивалентного диаметра при торцовом тчении.

При обработке сферической поверхности (когда суммарная подача постоянна и направлена по касательной образующей) уравнение скорости резания примет вид (рис. 1, б):

$$V = \frac{\pi d_s n}{1000} \sin \varphi,$$

а выражение (3) для этого случая можно написать в следующем виде:

$$d_s = \frac{d_0}{2} \int_0^l (\sin \varphi) d\varphi. \quad (6)$$

Подставив значения  $d_s = \frac{d_0}{2ns} d\varphi$  и  $\varphi = \frac{l}{ns}$  в (6), получим:

$$d_s = \frac{d_0^{2+1/n}}{2l} \int_0^l (\sin \varphi)^{2/n} d\varphi,$$

где  $l$  — длина образующей кривой поверхности.

Таким образом, на основании приведенных зависимостей и уравнений определяются эквивалентное число оборотов и, следовательно, скорости резания при тчении поверхностей с переменными размерами по длине обработки. Полученные уравнения можно применять для технологических расчетов режимов резания.

Поступило 11.XI.1971.

Մ. Վ. ԿԱՏՅԱՆ, Ր. Գ. ԲԱԳԴԱՍԱՐՅԱՆ

ՄՇԱԿՐԱՆ, ԵՐԿԱՐՈՒԹՅԱՆ ՈՒՂՂՈՒԹՅԱՄԲ ՓՈՓՈԽԱԿԱՆ ՋԱՓԵՐ  
ՈՒՆԵՑՈՂ ԴԵՏԱԼՆԵՐԻ ՇՐՋԱՏԱՇՄԱՆ ԴԵՊՔՈՒՄ ՀԱՄԱՐԴԵՔ  
ՊՏՈՒՅՏԱԹՎԵՐԻ ՈՐՈՇՄԱՆ ՀԱՐՑԻ ՇՈՒՐՋԸ

Ա մ փ ո փ ո ռ մ

Հոդվածում տրվում է մշակման երկարության ուղղությամբ փոփոխական շափեր ունեցող մակերևույթների շրջատաշման համար համաբժեք պտտաշափվերի հաշվարկման սեփույ. ենդրի առանձնահատկությունը կայանում է նրանում, որ հաշվի է առնվում մշակման տրամադրի փոփոխականությունը և, հետևարար, կտրման արագության փոփոխականությունը. Մասնավոր բանաձևերը կարելի է առանձնարարել կտրման սեփիմների ակխնությունից կան հաշվարկների համար:

## Л И Т Е Р А Т У Р А

1. Касьян М. В. Режимы стабилизации процесса резания металлов. „Известия АН Арм. ССР (серия Т. Н.)“, т. XIII, № 6, 1960.
2. Зорев Н. Н. Влияние природы износа режущего инструмента на зависимость его стойкости от скорости резания. „Вестник машиностроения“, № 2, 1965.
3. Макаров А. Д. Износ и стойкость режущих инструментов. Изд-во „Машиностроение“, 1966.
4. Бидисарян Р. Г. Исследование технологического аспекта обрабатываемости металлов. Кандидатская диссертация. Ереван, 1969.

Р. В. СИРЕКАНЯН, Р. Х. СОГОМОНЯН, А. Б. ЗАХАРЯН

### ВЕРОЯТНОСТНЫЙ АНАЛИЗ ВЗАИМОДЕЙСТВИЯ ГУСЕНИЧНОЙ ЛЕНТЫ С МИКРОПРОФИЛЕМ

Для исследования работы ходовых систем гусеничных машин необходимо определить случайные входные воздействия от почвенной поверхности через гусеничную ленту. Однако, до настоящего времени в аналогичных исследованиях гусеничная цепь рассматривалась как бесконечно длинная лента, толщиной которой пренебрегали. Такая картина не является реальной, поскольку при езде по неровностям гусеничная лента копирует не все неровности пути, а лишь часть из них, образуя некоторую случайную ломаную дорожку, по которой и катятся опорные катки трактора.

Целью настоящей работы является определение вероятностных характеристик указанного ломаного контура-дорожки в зависимости от аналогичных характеристик поверхности пути.

Для определения вероятностных характеристик микропрофиля имеется ряд работ, в большинстве из них экспериментально полученные нормированные корреляционные функции аппроксимируются выражением

$$\rho_x(\tau) = e^{-\beta|\tau|} \cos \beta\tau, \quad (1)$$

Однако, нетрудно заметить, что корреляционная функция вида (1) соответствует недифференцируемому процессу, поэтому более естественно аппроксимировать ее выражением

$$\rho_x(\tau) = e^{-\beta|\tau|} \left( \cos \beta\tau + \frac{\sigma}{\beta} \sin \beta|\tau| \right). \quad (2)$$

Случайный процесс с корреляционной функцией (2) является дифференцируемым со спектральной плотностью, определяемой равенством:

$$S_x(\omega) = \frac{2\sigma^2 x}{\pi} \frac{\omega^2 + \beta^2}{(\omega^2 - \beta^2)^2 + 4\omega^2 \beta^2}, \quad (3)$$

где  $\sigma^2$  — дисперсия микропрофиля.

Для получения зависимостей, связывающих статистические характеристики микропрофиля и гусеничной ленты, необходимо иметь исходную предпосылку касательно положения звеньев гусеницы. Такой предпосылкой является предположение о контакте мест сопряжения звеньев с почвой (для гусеницы без шпор). Для обычной гусеницы это предположение сводится к требованию рапелства деформаций грунта под опорами. Данное допущение позволяет провести вычисле-

ние вероятностных характеристик гусеничной ленты. Оно вносит незначительные неточности, которые, как будет показано ниже, пренебрежимо малы.

В соответствии со сказанным процесс взаимодействия гусеничной ленты с микропрофилем имеет вид, показанный на рис. 1, где  $x(t)$  — реализация почвенного микропрофиля;  $x(t_j)$  — точки соприкосновения шарниров с почвой; по оси абсцисс отложено время, хотя, на самом деле, должна быть отложена длина  $l$ . Однако, учитывая наличие зависимости  $l = vt$  и принимая  $v = 1$  м/сек, можно заменить  $l$  на  $t$ , что более удобно. Углы, образованные направлениями звеньев гусениц

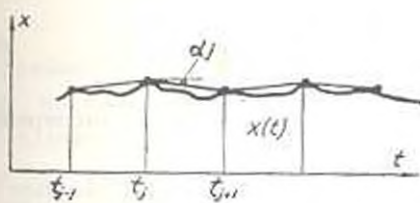


Рис. 1.

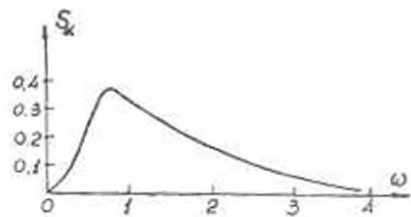


Рис. 2.

с горизонтальной осью, обозначим через  $\alpha_j$ , принимая отчет по часовой стрелке за положительное направление. Ввиду малости углов  $\alpha_j$ , можно принять, что интервалы  $\Delta = [t_j, t_{j+1}]$  равны длине звена и  $\operatorname{tg} \alpha_j = \alpha_j$ . При этих предположениях будем иметь:

$$\alpha_j(t) = \frac{1}{\Delta} [X(t_{j+1}) - X(t_j)]; (t_j < t < t_{j+1}). \quad (4)$$

По общему определению корреляционной функции имеем:

$$K_x(\tau) = M \left\{ \frac{1}{\Delta} [X(t) - X(t - \Delta)] \cdot \frac{1}{\Delta} [X(t + \tau) - X(t + \tau - \Delta)] \right\}.$$

перемножая сомножители и вынося за знак математического ожидания множитель  $1/\Delta^2$ , получим:

$$K_x(\tau) = \frac{1}{\Delta^2} [2K_x(\tau) - K_x(\tau + \Delta) - K_x(\tau - \Delta)]. \quad (5)$$

Применяя преобразования Фурье к формуле (5), после несложных преобразований получим:

$$S_x(\omega) = \frac{4}{\Delta^2} \sin^2 \frac{\omega \Delta}{2} S_x(\omega). \quad (6)$$

График  $S_x(\omega)$ , построенный в соответствии с формулой (6), приведен на рис. 2 и, как видно, основной части кривой  $S_x(\omega)$  соответствуют значения  $\omega$ , заключенные в пределах  $0 - 4 \text{ сек}^{-1}$ . Поэтому, учитывая, что  $\Delta \approx 0,17$  м, вместо (6) можно написать

$$S_x(\omega) = \frac{4}{\Delta^2} \frac{\omega^2 \Delta^2}{4} S_x(\omega)$$

или

$$S_x(\omega) = \omega^2 S_z(\omega), \quad (7)$$

откуда передаточная функция рельеф-углы, образованные гусеницами, выразится следующим образом:

$$W(p) = p. \quad (8)$$

т. е. представляет собой идеальное дифференцирующее звено. Физический смысл полученной формулы (8) в том, что производная  $X(t)$  случайного процесса  $X(t)$ , равная  $\lg z$ , может быть заменена на  $z$ , что является отражением того факта, что реальные углы колеблются в весьма малых пределах. Из формулы (5) при  $\tau = 0$  имеем:

$$D_x = \frac{2}{\Delta^2} [K_x(0) - K_x(\Delta)]. \quad (9)$$

Таким образом, выведена зависимость, связывающая дисперсию углов с корреляционной функцией профиля почвы.

Поскольку процесс  $X(t)$  является нормальным стационарным и эргодическим, то, если замена  $\lg z = z$  окажется слишком грубой, необходимо будет разложить выражение  $z = \arctg \left\{ \frac{1}{\Delta} [X(t) - X(t - \Delta)] \right\}$  в

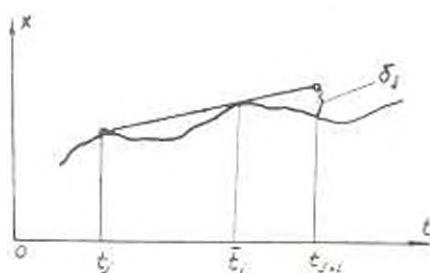


Рис. 3.

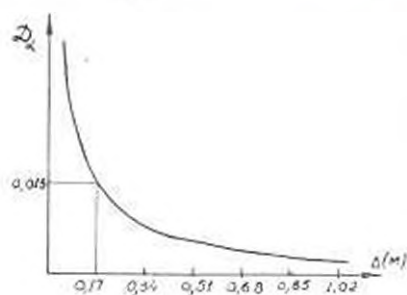


Рис. 4.

ряд и учесть первые три степени разложения. Окончательный результат в этом случае можно получить весьма просто, ввиду нормальности процесса.

При сделанных приближениях допускаются ошибки двух типов.

1. Не учитываются случаи, когда звено опирается о две точки, а конец висит в воздухе, как показано на рис. 3. В этом случае, вместо  $X(t_j)$ , в качестве ординаты правого шарнира следует взять  $X(t_j) + \delta_j$ . Поскольку

$$X(t) = X(\bar{t}_j) - \frac{1}{8} \ddot{X}(\bar{t}_j) \Delta^2,$$

то ошибка в определении  $\sigma_j$  равна:

$$\delta_j = \frac{1}{8} \ddot{X}(\bar{t}_j) \Delta^2. \quad (10)$$

Как видно из (10), эта погрешность существенной роли не играет.

2. Не учитываются случаи, когда оба конца звена оказываются в воздухе, что, однако, маловероятно.

Вернемся к уравнению (9). Выражая корреляционную функцию  $K_r(\tau)$  через нормированную корреляционную функцию  $\rho_r(\tau)$ , получим:

$$D_r = \frac{2D_s}{\Delta^2} [1 - \rho_r(\Delta)]. \quad (11)$$

Поскольку все экспериментально полученные значения  $\rho_r(\Delta) > 0$ , то из (11) следует, что

$$\max D_r < \frac{2D_s}{\Delta^2}.$$

Типичный график для  $D_r(\Delta)$ , построенный по (11), приведен на рис. 4. Как видно из рис. 4, чем больше  $\Delta$ , тем меньше  $D_r$ , т. е. тем лучше плавность хода гусеничной машины: например, при увеличении  $\Delta$  в два раза  $D_r$  уменьшается более, чем наполовину. Однако, значение длины звена выбирается не только по критерию плавности хода машины, но и в зависимости от ряда других причин (системы подвески, пара-

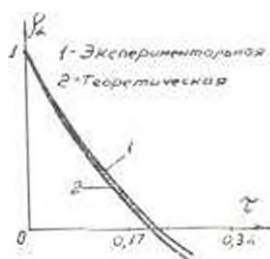


Рис. 5.

метрон направляющего колеса и т. д.). С этой точки зрения, кривая, изображенная на рис. 4, должна служить одним из факторов, оценивающих оптимальную длину звена гусеничной ленты данного типа машины.

Для проверки теоретических выводов были проведены эксперименты по определению корреляционных функций почвы, гусеницы и указанных углов. Сами углы непосредственно не измерялись, а вычислялись по известным ординатам гусеничной ленты. По найденным значениям углов строилась корреляционная функция  $K_r(\tau)$  и определялась дисперсия  $D_r$ . Далее по формулам (9) и (11) определялись теоретические значения  $K_r(\tau)$  и  $D_r$ . Как видно из рис. 5, найденные теоретические и экспериментальные (аппроксимированные) корреляционные функции совпадают.

Таким образом, можно сделать следующие выводы.

1. Зная вероятностные характеристики микропрофиля, можно определить вероятностные характеристики гусеничной ленты, поскольку последние полностью определяются функцией  $K_r(\tau)$ .

2. Переход корреляционной функции  $K_c(\tau)$  через 0 почти всегда получается в промежутке между  $\tau = -\Delta$  и  $\tau = -2\Delta$ , то есть корреляционная связь между углами, образованными звеньями с горизонтальной осью, слабая. Этот вывод распространяется как на деформируемые, так и на жесткие почвы. Физическая сущность этого явления в том, что вероятность прохождения бугров, длина образующих которых больше 1 м (т. е.  $\tau > 6$ ), весьма мала. Поэтому для всех экспериментально полученных кривых переход корреляционной функции через 0 получался в промежутке  $[\Delta, 2\Delta]$ , откуда ясно, что корреляционной связью между соседними углами в первом приближении можно пренебречь и считать, что углы, образованные направлениями гусениц с горизонтальной осью, независимы (поскольку они подчинены нормальному закону распределения).

3. График  $D_c(\Delta)$  может служить вспомогательным критерием, позволяющим (в совокупности с другими конструктивными требованиями) определить оптимальную длину звена гусеничной ленты.

ЮНИИС—НАТИ

Поступило 13.IV.1971.

Ռ. Վ. ՍԻՐԵԿՅԱՆԿ, Ր. Խ. ՍՈԳՈՄՈՆԻ, Լ. Բ. ԶԱԽԱՐՅԱՆ

ԹՐԹՈՒՐԱՎՈՐ ՇՂԹԱՅԻ ԵՎ ՀՈՂԻ ԱՆՀԱՐԹՈՒԹՅՈՒՆՆԵՐԻ ՓՈՒՆԱԶԳԻՅՑՈՒԹՅԱՆ ՀԱՎԱՆԱԿԱՆԱԿԱՆ ՎԱՐՎՈՒՄՈՒԹՅՈՒՆ

Ա. Վ Վ Վ Վ Վ Վ

Հողվածում հախանականությունների տեսության մեթոդներով ուսումնասիրվում է թրթուրավոր շղթայի և հողի անհարթությունների փոխազդեցությունը: Դուրս է բերված թրթուրավոր շղթայի և հողի անհարթությունների հախանականական բնութագրերի կապը: Մասշավում է թրթուրավոր շղթայի սղակը լավագույն երկտրոսության բնութան պայմանները: Տեսականորեն ստացված արդյունքները հաստատվել են փորձնականորեն:

#### Л И Т Е Р А Т У Р А

1. Свешников А. А. Прикладные методы теории случайных функций. «Машин», 1968.
2. Сидасев А. А. Спектральная теория поддресоривания транспортных машин. Машгиз, 1963.

Р. М. БАРСЕГЯН

ФИЛЬТРАЦИЯ ЖИДКОСТИ В СЛОИСТЫХ ПЛАСТАХ С ПЕРЕМЕННЫМИ МОЩНОСТЯМИ И КОЭФФИЦИЕНТАМИ ФИЛЬТРАЦИИ СЛАБОПРОНИЦАЕМЫХ ПРОСЛОЕК

В задачах о фильтрации жидкости в гидравлически связанных подоносных горизонтах мощности слабопроницаемых прослоек, разделяющих водоносные горизонты, обычно осредняются по высоте, вследствие чего движение жидкости рассматривается в горизонтально залегаемых горизонтах.

Представляет интерес произвести оценку практической допустимости осреднения мощностей слабопроницаемых прослоек. В статье производится такая оценка путем сравнения решений для двух типовых задач, относящихся к модели Мятиепа-Гиринского. Сопоставляются решения задач, найденные без осреднения мощности слабопроницаемой прослойки (точные решения), с решениями с осреднением мощности слабопроницаемой прослойки (приближенные решения).

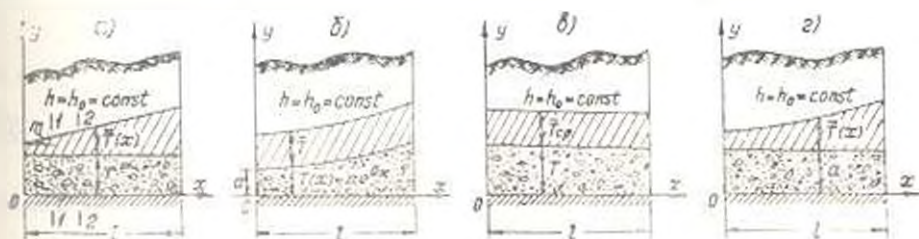


Рис. 1.

Сущность первой задачи заключается в следующем. Требуется найти решение для случая одномерной напорной установившейся фильтрации однородной несжимаемой жидкости (по закону Дарси) в трехслойном недеформируемом массиве при условии, что верхний и нижний слои сильнопроницаемы и разобщены средним слабопроницаемым слоем (рис. 1, а, б и в). В верхнем сильнопроницаемом слое напор  $h_0 = \text{const}$ . Нижняя и верхняя границы массива являются кровлями водоупора.

1°. Точные решения задач. а) Пусть мощность слабопроницаемой прослойки изменяется по линейному закону (рис. 1, а). Найдем урав-

нение, которому должен удовлетворить напор  $h(x)$  в нижнем водоносном горизонте массива. Для этого составим баланс фильтрационного расхода в бесконечно малом отсеке ( $1-1, 2-2$ ) нижнего слоя массива. Согласно закону Дарси удельный фильтрационный расход, поступающий в рассматриваемый отсек через сечение  $1-1$ , будет  $q =$

$-KT \frac{dh}{dx}$ . Удельный фильтрационный расход, выходящий через сечение  $2-2$ , будет  $q + dq = q + KT \frac{d^2h}{dx^2} dx$ . Следовательно, дефицит количества жидкости в рассматриваемом отсеке за единицу времени со-

ставит  $-KT \frac{d^2h}{dx^2} dx$ . Этот дефицит равен удельному фильтрационному расходу, поступающему через кровлю отсека, равному  $-\bar{K} \frac{h-h_0}{T-mx}$ .

Отсюда получим уравнение баланса удельного фильтрационного расхода в рассматриваемом отсеке:

$$\frac{d^2h}{dx^2} - \frac{K(h-h_0)}{KT(T_0-mx)} = 0, \quad (1)$$

где  $m = \alpha g \beta$ ;  $K$  и  $\bar{K}$  — коэффициенты фильтрации соответственно водоносного горизонта и слабопроницаемой прослойки; остальные обозначения показаны на рис. 1.

Общее решение уравнения (1) имеет вид:

$$h - h_0 = \xi [C_1 I_1(\xi) + C_2 K_1(\xi)], \quad (2)$$

где

$$\xi = \frac{2}{m} \sqrt{\frac{K(mx + T_0)}{KT}}$$

$I_1(\xi)$  и  $K_1(\xi)$  — модифицированные функции Бесселя первого порядка соответственно первого и второго родов.

Для определения произвольных постоянных  $C_1$  и  $C_2$  задаемся граничными условиями

$$h|_{x=0} = h_1, \quad h|_{x=l} = h_2. \quad (3)$$

С помощью (3) решение (2) приводится к виду

$$h - h_0 = \xi \left[ \frac{(h_1 - h_0) \xi_2 [K_1(\xi_2) I_1(\xi) - I_1(\xi_2) K_1(\xi)]}{\xi_1 \xi_2 [I_1(\xi_1) K_1(\xi_2) - K_1(\xi_1) I_1(\xi_2)]} + \frac{(h_2 - h_0) \xi_1 [I_1(\xi_1) K_1(\xi) - K_1(\xi_1) I_1(\xi)]}{\xi_1 \xi_2 [I_1(\xi_1) K_1(\xi_2) - K_1(\xi_1) I_1(\xi_2)]} \right], \quad (4)$$

где

$$\xi_1 = \frac{2}{m} \sqrt{\frac{\bar{K} T_0}{KT}}; \quad \xi_2 = \frac{2}{m} \sqrt{\frac{\bar{K}(ml + T_0)}{KT}}$$

Отметим, что при достаточно малых  $\bar{K}K$  (например, при  $\bar{K}K \leq 0,001$ ) можно воспользоваться выражением

$$h = h_0 + (mx + \bar{T}_0) \left[ \frac{(h_1 - h_0)(ml - \bar{T}_0) \ln \left| \frac{ml - \bar{T}_0}{mx + \bar{T}_0} \right|}{T_0(mx + \bar{T}_0) \ln \frac{ml + \bar{T}_0}{\bar{T}_0}} - \frac{(h_2 - h_0)\bar{T} \ln \left| \frac{mx + \bar{T}_0}{\bar{T}_0} \right|}{\bar{T}_0(mx + \bar{T}_0) \ln \frac{ml + \bar{T}_0}{\bar{T}_0}} \right] \quad (5)$$

которое можно получить из (4), если удовлетвориться только первыми членами рядов функций  $I_1(z)$  и  $K_1(z)$ .

б) Пусть требуется найти напор  $h = h(x)$  нижнего водоносного горизонта при схеме, приведенной на рис. 1, б. Эта задача отличается от первой тем, что мощности слабопроницаемой прослойки и основного водоносного горизонта изменяются по экспоненциальному закону.

Как и в предыдущем случае находим, что напор  $h = h(x)$  удовлетворяет уравнению [1]:

$$\frac{d^2h}{dx^2} - \frac{T(x)}{T(x)} \frac{dh}{dx} - \frac{\bar{K}(h - h_0)}{KT(x)\bar{T}(x)} = 0, \quad (6)$$

где  $T(x) = ae^{bx}$  и  $\bar{T}(x) = \mu ae^{bx}$  — соответственно мощности нижнего водоносного горизонта и слабопроницаемой прослойки;

$$T(x) = abe^{bx};$$

$a, b$  и  $\mu$  — постоянные.

При граничных условиях (3) решение уравнения (6) имеет вид:

$$h = h_0 + \frac{(h_1 - h_0) \operatorname{sh} l \sqrt{\xi_1 - \xi_2} + (h_2 - h_0) \operatorname{sh} l \sqrt{\xi_2 - \xi_1}}{\operatorname{sh} l \sqrt{\xi_1 - \xi_2}} \quad (7)$$

где

$$\xi_1 = -\frac{e^{-bx}}{ab} + \xi_1, \quad \xi_2 = \frac{1}{ab} + \xi_2, \quad \xi_1 = \frac{e^{-bx}}{ab} + \xi_1, \quad \xi_2 = \frac{\bar{K}}{K\mu}$$

2. **Приближенные решения задач.** При усреднении мощности слабопроницаемой прослойки (для двух вышеперечисленных задач) слои пласта становятся горизонтальными (рис. 1, в). В этом случае напор  $h = h(x)$  удовлетворяет дифференциальному уравнению

$$\frac{d^2h}{dx^2} - \frac{\bar{K}}{KT\bar{T}_{cp}} (h - h_0) = 0, \quad (8)$$

решение которого при граничных условиях (3) имеет вид:

$$h = h_0 - \frac{(h_1 - h_0) \operatorname{sh} \sqrt{\frac{K}{KT T_{c1}} (l-x)} + (h_0 - h_2) \operatorname{sh} \sqrt{\frac{K}{KT T_{c1}} x}}{\operatorname{sh} \sqrt{\frac{K}{KT T_{c1}} l}} \quad (9)$$

где

$$K = \frac{K}{KT T_{c1}}$$

Осреднение мощности слабопроницаемой прослойки по высоте для второй задачи в отличие от первой (где осреднение было произведено в пределах верхнего горизонта) плечет за собой осреднение мощности водоносного горизонта. Естественно, что в этом случае ожидаемое расхождение между значениями напоров, вычисленными точным и приближенным методами, будет значительное.

Сопоставлением величин напоров, вычисленных по формулам (4), (7) и (9) (соответственно:  $h = h_1$ ,  $h = h_1$  и  $h = h_0$ ) при одинаковых параметрах, входящих в эти формулы, можно судить о степени расхождения между значениями напоров в одних и тех же сечениях. В табл. 1 приводятся результаты вычислений при следующих исходных данных:  $h_0 = 20$  м;  $\beta = 5^\circ$ ;  $T_2 = 10$  м;  $l = 1000$  м;  $T = 20$  м [по формулам (4) и (9)];  $K = 0,001$  м/сутки;  $K' = 0,1$  м/сутки. При значениях  $\mu = 6,25$  и  $b = 0,002$  осредненные по высоте мощности слабопроницаемой прослойки и нижнего водоносного горизонта второй задачи совпадают с соответственными мощностями слоев первой задачи. В четвертой и пятой строках таблицы приложены значения напоров  $h_1$  и  $h_0$ , вычисленные по формуле (7), и  $h_1'$  — по формуле (9) при  $K/K' = 0,0001$ .

Таблица 1

Сечения, $x$ в м		0	100	200	500	800	900	1000
Напоры в м	$h_1$	40	33,6	31,0	32,7	43,4	51,5	60
	$h_0$	40	35,7	32,8	32,0	42,3	49,7	60
	$h_1$	40	30,9	28,3	26,0	51,1	57,0	60
	$h_1'$	40	44,0	47,7	54,1	58,0	59,2	60
	$h_0'$	40	42,5	44,0	50,0	56,0	58,0	60

Как видно из таблицы, расхождение между точными и приближенными значениями напоров при  $0,01 K \ll K'$  значительное и при изучении фильтрации на больших территориях не следует им пренебречь.

Таким образом, при решении конкретных задач фильтрации в многослойных пластах осреднение мощностей слабопроницаемых прослоек с требуемой точностью в большинстве случаев можно считать

нецелесообразным. Осреднение особенно недопустимо, если оно влечет за собой осреднение мощностей водоносных горизонтов.

Ниже дается решение некоторых конкретных задач фильтрации жидкости в многослойных пластах без осреднения мощностей слабопроницаемых прослоек. Получены уравнения движения и найдены их решения.

1. Рассмотрим фильтрацию жидкости в прямоугольном массиве, вертикальное сечение которого приведено на рис. 1, г. Требуется найти напор нижнего водоносного горизонта, если мощность слабопроницаемой прослойки изменяется по закону

$$T(x) = ae^{bx},$$

где  $a$  и  $b$  — постоянные.

Искомый напор  $h(x)$  удовлетворяет дифференциальному уравнению

$$\frac{d^2h}{dx^2} - \frac{\bar{K}}{KTab} e^{-bx} (h - h_0) = 0. \quad (10)$$

Решением уравнения (10) является

$$h(x) = h_0 - J_0(2\gamma \int_0^x e^{-bx/2} dx) \left[ C_1 - hC_2 \int_0^x \frac{dx}{J_0^2(2\gamma e^{-bx/2})} \right],$$

где  $J_0$  — функция Бесселя;  $\gamma^2 = \frac{\bar{K}}{KTab^2}$ ;  $C_1$  и  $C_2$  — постоянные, определяемые с помощью граничных условий, которые могут быть 1-го, 2-го или 3-го родов.

2. Пусть требуется найти напор  $h = h(x)$  нижнего водоносного горизонта для схемы рис. 1, а при условии, что коэффициент фильтрации слабопроницаемой прослойки  $\bar{K}(x)$  — линейная функция

$$\bar{K}(x) = \bar{K}_1 + \frac{\bar{K}_2 - \bar{K}_1}{l} x,$$

где  $\bar{K}_1$  и  $\bar{K}_2$  — коэффициенты фильтрации слабопроницаемой прослойки соответственно в сечениях  $x = 0$  и  $x = l$ .

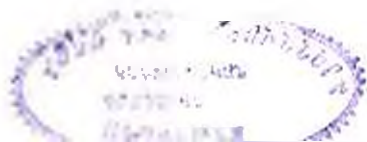
Искомый напор  $h(x)$  нижнего водоносного горизонта удовлетворяет уравнению

$$\frac{d^2h}{dx^2} - \frac{\bar{K}_1 l - (\bar{K}_2 - \bar{K}_1)x}{lKT(2mx - T_0)} (h - h_0), \quad (11)$$

С помощью подстановки

$$h - h_0 = \frac{l}{2p} e^{-\frac{t}{2}} H(t)$$

уравнение (11) преобразуется к вырожденному гипергеометрическому уравнению



$$t \frac{d^2 H}{dt^2} + (2-t) \frac{dH}{dt} - \left(1 - \frac{q}{2p}\right) H = 0, \quad (12)$$

где

$$p = \frac{\bar{K}_2 - \bar{K}_1}{l(KTm)^3}; \quad q = \frac{l\bar{K}_1 KTm - KTT_0(\bar{K}_2 - \bar{K}_1)}{l(KTm)^3}.$$

Общее решение уравнения (12) имеет вид:

$$H(t) = C_1 F(n, 2, t) + (n-1) C_2 [F(n, 2, t) \ln t + \\ + \sum_{k=1}^{\infty} \frac{n(n-1) \cdots (n-k-1)}{2 \cdot 3 \cdots (2+k-1)k!} t^k \sum_{j=0}^{k-1} \left( \frac{1}{n+j} - \frac{1}{2-j} - \frac{1}{1-j} \right)],$$

где

$$F(n, 2, t) = 1 + \sum_{k=1}^{\infty} \frac{n(n-1)(n-2) \cdots (n-k-1)}{2 \cdot 3 \cdots (2+k-1)k!} t^k$$

— вырожденная гипергеометрическая функция;  $n = 1 + \frac{q}{2p}$ . Для определения постоянных  $C_1$  и  $C_2$  задаются граничные условия (1-го, 2-го или 3-го родов).

Ереванский политехнический институт  
им. К. Маркса

Поступило 8.11.1971.

В. В. БАРУБЯН

ՀԵՂՈՒԿԻ ՅԻԼՏՐԱՑԻԱՆ ՓՈՓՈԽԱԿԱՆ ՀՉՈՐՈՒԹՅՈՒՆ ԵՎ ՅԻԼՏՐԱՑԻԱՅԻ  
ԳՈՐԾԱԿԻՅ ՈՒՆԻՑՈՂ ՎԱՏ ԹԱՓԱՆՅՈՂ ՄԻՋԱՆՇԵՐՏԵՐՈՎ  
ՇԵՐՏԱՎՈՐ ՀՈՂԱՇԵՐՏԵՐՈՒՄ

Ս. Մ Ֆ Ո Ւ Մ

Բազմաշերտ հողաշերտերում հեղուկի ֆիլտրացիայի վերաբերյալ խնդիրներ լուծելիս սովորաբար վատ ֆափանցող շերտերի հորսությունները միջինացնում են, որի հետևանքով շերտերը ստանում են հորիզոնական դասավորություն:

Հսկայաճում լուծված են խնդիրներ առանց միջինացնելով բաժանող վատ ֆափանցող շերտի հորսությունը: Այդ լուծումները նախատեսվում են նույն խնդիրների լուծումների համար միայն վատ ֆափանցող շերտի միջինացրած հորսությամբ: Պարզվում է, որ շատ զեղյակներում այդ միջինացումը անփոխարինելի է: Լուծված են նաև մի քանի խնդիրներ, երբ վատ ֆափանցող շերտի հորսությամբ և ֆիլտրացիայի գործակիցը փոփոխական են:

Л И Т Е Р А Т У Р А

1. Барсегян Р. М. Некоторые задачи неравномерной фильтрации в многослойных пластах. «Известия АН Арм. ССР, Механика», № 6, 1970.

ГИДРАВЛИКА

А. А. ГУРГЕНЯН

ОПРЕДЕЛЕНИЕ ПАРАМЕТРОВ ЖИДКОСТИ В ОКРЕСТНОСТИ ТОЧКИ СОЕДИНЕНИЯ ФРОНТОВ ВОЛН МЕТОДОМ ЛЕГРАСА

1. Рассматривается осесимметричная задача о движении полупространства сжимаемой идеальной жидкости под действием ударной волны или твердых тел. Исследуется окрестность точки соединения волновых фронтов методом Леграса [1].

Пусть на поверхности жидкости в некоторой точке  $O$  произведен взрыв. Ось  $Ox$  выбрана по невозмущенной границе жидкости, ось  $Oy$  направлена вглубь жидкости (рис. 1). Ударная волна от взрыва распространяется по поверхности жидкости по закону:

$$P = \begin{cases} P_1 P_0 \left( \frac{x}{Vt} \right) & x < Vt \\ 0 & x > Vt \end{cases} \quad (1.1)$$

где  $P$  — давление;  $t$  — время с начала движения;  $V$  — скорость фронта  $A$  давления по границе жидкости;  $P_1$  — давление в точке  $A$ ;  $P_0$  — профиль давления за фронтом на поверхности. Картина возмущенного движения показана на рис. 1. Решение этой задачи в линейной постановке для давления  $P$  при граничном условии (1) и нулевых начальных условиях найдено в [2] и имеет вид

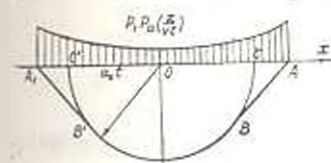


Рис. 1.

$$\frac{P}{P_1} = \varphi(\theta) e^{-\frac{1}{2} \frac{\pi + 1}{\pi} \varphi(\theta)}, \quad \text{где} \quad \varphi(\theta) = \frac{M^2 \sin \theta}{(1 - M^2 \cos^2 \theta)^{3/2}} \quad (1.2)$$

Соотношение (1.2) имеет место на  $BB'$  всюду, кроме окрестности точки  $B$ , где решение становится двумерным. В [3] и [4] показано, что в этой области решение будет короткой волной, зависящей от двух переменных, и найдены частные решения этих уравнений, которые удовлетворяют условию непрерывности касательной составляющей скорости к ударной волне в точке  $B$ , лишь в нулевом порядке. Так как именно в окрестности этой точки происходит наибольшее изменение решения, то необходимо применить другие методы, которые дают более точные результаты.

Покажем, что используя метод Леграса, который приводит к численному интегрированию системы обыкновенных дифференциальных уравнений, можно определить окрестность точки  $B$ , причем, условиям на ударной волне удовлетворить не только в точке  $B$ , а всюду, и в точке  $B$  не в нулевом порядке, а в первом.

Для плоской задачи этим же методом с помощью стыковки удалось найти решение в окрестности особой точки  $B$  в виде ряда по степеням  $z$ , которое удовлетворяет всем условиям задачи включительно до второго порядка [5].

Уравнение движения и неразрывности для осесимметричного движения в окрестности точки  $B$  можно записать в виде уравнения коротких волн [3]

$$\frac{\partial v}{\partial z} (v - z) + v + \frac{1}{2} \frac{\partial v}{\partial y} = 0, \quad (1.3)$$

$$\frac{\partial v}{\partial Y} - \frac{\partial v}{\partial z},$$

где введены обозначения:

$$v = a_0 M_0 \mu; \quad z = a_0 \sqrt{\frac{n+1}{2}} V_0 \nu; \quad \frac{P}{Bn} = M_0 x;$$

$$r_1 = a_0 l \left( 1 - \frac{n+1}{2} \delta_0^2 \right); \quad \theta - \theta_0 = \sqrt{\frac{n+1}{2}} \mu Y; \quad \cos \theta_0 = \frac{a_0}{V};$$

$$M_0 = \delta_0 = \left( \frac{\rho_1}{Bn} \right)^{1/2}; \quad V = \delta_0^2 a_0; \quad \theta_0 = \lambda_0^2.$$

Условия на ударном фронте  $BB'$  (рис. 1) в этих переменных можно записать в виде

$$v - a \sqrt{2z - a} = 0; \quad \frac{\partial \delta}{\partial Y} + \sqrt{2z - a} = 0, \quad (1.4)$$

где первое уравнение выражает условие непрерывности касательной составляющей скорости к фронту ударной волны, а второе — скорость распространения ударной волны  $BB'$ .

Решение уравнений (1.2) и (1.4) ищем в параметрическом виде:

$$\nu = a_1(x); \quad \mu = l_1(x); \quad \nu = b_2(x); \quad \mu = l_2(x);$$

$$\delta = l(x); \quad \mu = l'(x); \quad Y = m(x); \quad \nu = l_3(x), \quad (1.5)$$

где  $x$  и  $l$  — параметры, причем,  $l=0$  — уравнение ударной волны.

Функции  $a_1(x)$ ,  $l_1(x)$ ,  $b_2(x)$ , ... — безразмерные.

Первое уравнение (1.3) в переменных (1.5) запишется так:

$$[a_1\beta - l_3m' + t(l_3\beta - l_3\beta')] [a_1 - l + t(l_3 - l')] + (a_1 + tl_3)(\beta l' - \Gamma m' - \\ + t(\beta l' - \Gamma \beta')) + \frac{1}{2} [-b_2\Gamma + l_2l' - t(l_3\Gamma - l_2l')] = 0. \quad (1.6)$$

Приравняем в (1.6) слагаемые без  $t$ :

$$(a_1\beta - l_3m')(a_1 - l) - a_1(\beta l' - \Gamma m') - \frac{1}{2} b_2\Gamma + \frac{1}{2} l_2l' = 0, \quad (1.7)$$

то же при  $t$ :

$$(a_2\beta - l_3m')(l_3 - \Gamma) + (\beta l_3 - \beta' l_3)(a_1 - l) + l_3(\beta l' - \Gamma m') - \\ + a_1(\beta l' - \Gamma \beta') + \frac{1}{2} (l_3l' - l_2\Gamma) = 0, \quad (1.8)$$

то же при  $\Gamma$ :

$$(\beta l_3 - \beta' l_3)(l_3 - \Gamma) + l_3(\beta l' - \Gamma \beta') = 0. \quad (1.9)$$

Второе уравнение (1.3) дает:

$$-a_1\Gamma - l_3l' - b_2\beta - l_2m' = 0; \quad (1.10)$$

$$l_3\Gamma' - l_2\Gamma - \beta l_3 + l_2\beta' = 0. \quad (1.11)$$

Условия на ударной волне  $BB'$  запишутся в виде:

$$l' + \sqrt{2l - a_1} m' = 0; \quad (1.12)$$

$$b_2 - a_1 \sqrt{2l - a_1} = 0. \quad (1.13)$$

Нетрудно показать, что в этих уравнениях  $l_3(x)$  входит однородно, так что можно положить  $l_3(x) = 1$ .

Для решения вышестоящей задачи получили семь обыкновенных дифференциальных уравнений для семи неизвестных функций (1.5).

Поскольку получена однородная система уравнений, примем  $a_1(x) = 1 - \varepsilon$ . Тогда получатся семь уравнений для шести неизвестных, поэтому уравнение (1.9) при  $l''$  следует отбросить, что возможно вследствие малости  $l$  вблизи ударной волны. Граничными условиями для этих уравнений может служить решение этих же уравнений в точке пересечения ударных волн  $AB$  и  $BB'$  и условия соединения этого решения с известным решением на  $AB$  в точке  $B$  [3]:

$$v_1 = 1 - \sqrt{2l - a_1} - Y_1; \quad \vartheta_1 = 1 - \sqrt{2l - a_1} + \frac{1}{2} Y_1, \quad (1.14)$$

где

$$Y = \sqrt{\frac{n-1}{2}} (\sin \vartheta_1 \cos \vartheta_2; \sin \vartheta_1 - 1, M).$$

Однако, для определения всех неизвестных функций в точке приходится дифференцировать каждое из этих уравнений по три раза,

вследствие чего получаются двадцать восемь нелинейных алгебраических уравнений, решение которых представляет большие трудности. Поэтому здесь, в отличие от плоской задачи, примем  $\dot{z}(z) = 0$  и  $\Gamma(z) = 1$ , причем, уравнения (1.9) и (1.11) выпадают, а для остальных неизвестных функций остаются следующие уравнения:

$$\left. \begin{aligned} m'(l-2a_1) - \frac{1}{2} b_2 - \frac{1}{2} l_2 l' &= 0; \\ m' + \frac{1}{2} l_1 = 0; \quad -a_1 l' + l_2 m' &= 0; \\ l' - \frac{1}{2l-a_1} m^2 = 0; \quad b_2 - a_1 \frac{1}{2l-a_1} &= 0. \end{aligned} \right\} \quad (1.15)$$

Если продифференцировать уравнения (1.15) один раз и перейти к точке, используя соотношения (1.14), то получится десять алгебраических уравнений для десяти неизвестных. Однако оказывается, что эти уравнения не имеют действительного решения, т. е. удовлетворить в точке всем условиям задачи включительно до второго порядка по  $z - z_1$  невозможно, поэтому вместо последнего уравнения (1.15), выражающего условие сохранения касательной составляющей скорости во втором порядке, возьмем второе уравнение (1.15), проинтегрированное в виде  $l_2 = -2m + C$ , причем, задаваясь  $C$ , найдем решение в точке  $z = a_1$  и подберем такое  $C$ , чтобы решение системы (1.15) вдали от начальной точки переходило в известное решение на  $BB_1$  (1.2). В этом случае уравнения (1.15) для точки  $B$  приводятся к следующему уравнению:

$$x^4 - \frac{1}{2} l_1 x - (2x^2 + C) \sqrt{\frac{1}{2} l_1 x + x^4} + \left( \sqrt{\frac{1}{2} l_1 x + x^4} - \frac{1}{2} \frac{l_1 x}{\sqrt{\frac{1}{2} l_1 x + x^4}} \right) \sqrt{\frac{1}{2} l_1 x - x^4 - 2x^2 - C} = 0, \quad (1.16)$$

где

$$x = \sqrt{-m(a_1)}. \quad (1.17)$$

При  $n = 7$ ,  $M = 2$ ,  $C = -1.3$  корень этого уравнения есть  $x = 0,8059$ . Вычисляя остальные неизвестные, решение в малой окрестности точки  $B$  можно представить в виде:

$$\left. \begin{aligned} m(z) &= 0,6495 - 0,6818(z - z_1) + 0,3066(z - z_1)^2 + \dots \\ l(z) &= 1,9436 - 1,0007(z - z_1) + 0,6825(z - z_1)^2 + \dots \\ b_2(z) &= 2,5433 - 2,0589(z - z_1) - 3,6594(z - z_1)^2 + \dots \\ l_2(z) &= 0,0010 - 1,3635(z - z_1) - 0,6131(z - z_1)^2 + \dots \end{aligned} \right\} \quad (1.18)$$

где

$$z_1 = 0,7327.$$

Для определения решения вдали от точки  $B$  можно численно интегрировать систему (1.15) с граничными условиями (1.18), причем,

второе уравнение, соответствующее первой степени  $l$ , отбрасывается, что возможно вследствие малости  $l$  вблизи ударной волны  $BB'$ .

Результаты расчетов для  $\gamma = 1/400$  и  $\gamma = 1/1000$  приведены на рис. 2.

В случае проникания твердых тел вращения, в частности конуса, в жидкость с постоянной сверхзвуковой скоростью  $V$ , область возмущенного движения ограничена линией  $ABCA'B'$  (рис. 3). Ось  $Ox$  выбрана по поверхности жидкости, ось  $Oz$  — по оси конуса.

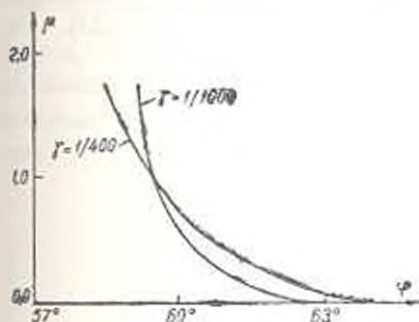


Рис. 2.

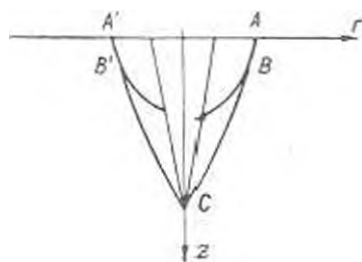


Рис. 3.

Так как задача осесимметрична, то можно использовать уравнения (1.6—1.13), причем, в последних двух уравнениях знаки перед радикалом нужно поменять на обратные.

Для определения решения в точке пересечения  $BC$  и  $BB'$  (рис. 3) разложим функции в ряд Тейлора по  $x - x_0$ , и оставим члены до второго порядка. Тогда получается двадцать одно нелинейное алгебраическое уравнение и столько же неизвестных. Однако, эти уравнения трудно решаются, поэтому, как и в предыдущей задаче, примем  $\beta(x) = 0$  и  $\Gamma(\tau) = 1$ , после чего получим следующую систему уравнений в точке

$$\left. \begin{aligned} -m'' - m'(l-2) - 0,5b_2^2 - 0,5l'l' - 0,5l'l'' &= 0; \\ -m' - 0,5b_2^2 - 0,5l'l' &= 0; \quad m'' - 0,5l'l'' = 0; \\ m'' - 0,5l'l'' &= 0; \quad 1 - l' - l_1 m' = 0; \\ l'' + l_2 m'' - l_1 m'' &= 0; \quad l' - m' = 0; \\ l'' - m'' - m'' - 0,5 &= 0; \quad b_2^2 - l' = 0,5 = 0. \end{aligned} \right\} \quad (1.19)$$

Здесь условие непрерывности касательной составляющей скорости к фронту ударной волны  $AB$  выполняется в первом порядке по  $x - x_0$ , где  $x_0 = 0$  в силу  $\beta(x) = a_1(x) - 1 - x - 1$  [4]. Решая эти уравнения, получим решение в окрестности точки  $B$  в виде

$$m(x) = 1 + \frac{3}{4}x + \frac{45}{64}x^2 + \dots$$

$$\begin{aligned}
 l(\alpha) &= 1 + \frac{3}{4}\alpha + \frac{57}{64}\alpha^2 + \dots \\
 b_2(\sigma) &= -1 - \frac{5}{4}\alpha - \frac{263}{64}\alpha^2 + \dots \\
 l_1(\alpha) &= \frac{1}{3} - \frac{3}{2}\alpha - \frac{45}{64}\alpha^2 + \dots
 \end{aligned}
 \tag{1.20}$$

Вдали от точки  $B$  вдоль ударной волны  $AB$  решение получится интегрированием системы (1.15) при граничных условиях (1.20). Результаты расчетов приведены на рис. 4.

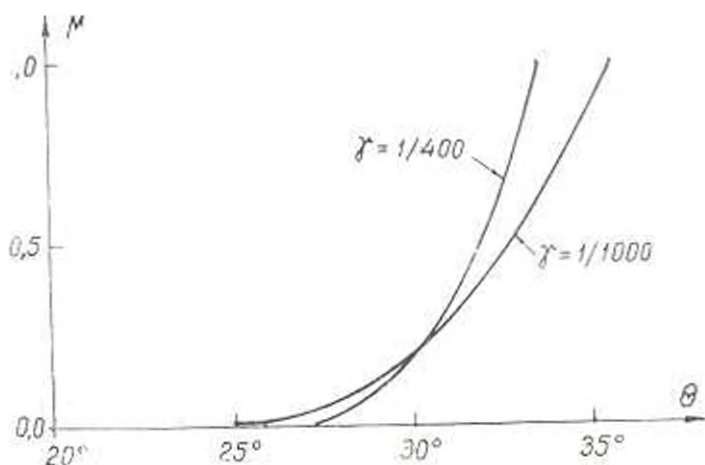


Рис. 4.

2. Приведенным методом можно исследовать также окрестности точки соединения фронтов волн в задаче о движении полупространства бесконечно проводящей сжимаемой жидкости в магнитном поле. Постановка и решение линейной задачи как в плоском, так и в осесимметричном случае даны в [6]. Тем же автором в работе [7] для плоской задачи в окрестности точки  $B$  (рис. 1) получено нелинейное уравнение и показано, что оно совпадает с уравнением коротких волн для однородной непроводящей жидкости. Следуя [7], получим в окрестности точки  $B$  нелинейное уравнение для осесимметричной задачи.

Уравнения магнитной газодинамики в этом случае имеют вид [8]:

$$\begin{aligned}
 \frac{\partial H_x}{\partial t} &= \frac{\partial}{\partial y} (v_x H_y - v_y H_x) + \frac{1}{y} (v_x H_y - v_y H_x); \\
 \frac{\partial H_y}{\partial t} &= -\frac{\partial}{\partial x} (v_x H_y - v_y H_x); \\
 \frac{\partial v_x}{\partial t} + v_x \frac{\partial v_x}{\partial x} + v_y \frac{\partial v_x}{\partial y} + \frac{1}{y} \frac{\partial P}{\partial x} &= \frac{1}{4\pi y} \left( \frac{\partial H_x}{\partial y} - \frac{\partial H_y}{\partial x} \right) H_x;
 \end{aligned}
 \tag{2.1}$$

$$\frac{\partial v_x}{\partial t} + v_x \frac{\partial v_x}{\partial x} + v_y \frac{\partial v_x}{\partial y} + \frac{1}{\rho} \frac{\partial P}{\partial y} = - \frac{1}{4\pi\rho} \left( \frac{\partial H_x}{\partial y} - \frac{\partial H_y}{\partial x} \right) H_x;$$

$$\frac{\partial P}{\partial t} + v_x \frac{\partial P}{\partial x} + v_y \frac{\partial P}{\partial y} + \rho a^2 \left( \frac{\partial v_x}{\partial x} + \frac{\partial v_y}{\partial y} + \frac{v_y}{y} \right) = 0. \quad (2.1)$$

Пусть  $\beta = \beta(x)$  — дисперсионное уравнение плоских волн для линейного варианта (2.1). Если в уравнениях (2.1) перейти к переменным  $x_1 = x_0 x + \beta_0 y - t$ ,  $\frac{1}{V} = \tau_0$ , где уравнение точечной волны СВВ,С<sub>1</sub> есть  $x_1 = 0$ , и оставить в нелинейных частях слагаемые второго порядка, заменив в них все производные через производные по  $x_1$ , при начальном магнитном поле  $H_0$ , направленном по оси  $x$ , можно получить [6]:

$$\tau h_x + \tau_0 v_x = 2 \frac{\beta_0}{\rho_0^2 a_0^2} P \frac{\partial P}{\partial x_1} - \frac{1}{y} \frac{\beta_0}{\rho_0^2} P;$$

$$\tau h_y - \tau_0 v_y = -2 \frac{x_0 \beta_0}{\rho_0^2 a_0^2} P \frac{\partial P}{\partial x_1};$$

$$\tau v_x + \frac{1}{\rho_0} \tau_0 P = - \frac{a_1^2 \rho_0 \beta_0^2}{a_0^2 \rho_0^2} \frac{1}{1 - a_1^2 x_1^2} P \frac{\partial P}{\partial x_1}; \quad (2.2)$$

$$\tau v_y + \frac{1}{\rho_0} \tau_0 P + a_1^2 (\tau_0 h_x - \tau_1 h_y) = - \frac{a_1^2 \beta_0^2}{a_0^2 \rho_0^2} \frac{1}{1 - a_1^2 x_1^2} P \frac{\partial P}{\partial x_1};$$

$$\tau P + \rho_0 a_0^2 \tau_0 v_x + \rho_0 a_0^2 \tau_1 v_y = -2x_1 \frac{1}{\rho_0 a_0^2} P \frac{\partial P}{\partial x_1} - \frac{1}{y} \rho_0 a_1^2 \frac{\beta_0}{\rho_0^2} P.$$

где

$$\tau = \frac{\partial}{\partial t}; \quad \tau_1 = \frac{\partial}{\partial x}; \quad \tau_2 = \frac{\partial}{\partial y}; \quad \mu = 1 - a_1^2 (x_0^2 + \beta_0^2); \quad a_1^2 = \frac{H_0^2}{4\pi\rho_0}.$$

$P$  — давление;  $v_x, v_y$  — составляющие скорости;  $\rho_0, \tau_0$  — невозмущенные плотность и скорость, отнесенные к  $H_0(0)$ ;  $h_x, h_y$  — возмущенные значения напряженности магнитного поля. Уравнение состояния взято в виде  $a = a_0(x_2 - 1) \frac{P}{\rho_0 a_0}$ , а правые части в (2.2) получены использованием характеристических соотношений:

$$v_x = \frac{x_0}{\rho_0} P; \quad v_y = \frac{\beta_0}{\rho_0^2} P; \quad h_x = \frac{\beta_0}{\rho_0^2} P; \quad h_y = - \frac{1}{\rho_0} \frac{x_0 \beta_0}{y} P.$$

Решая систему (2.2) относительно  $P$ , можно получить:

$$\Delta_0 P = \Delta_1 P \frac{\partial P}{\partial x_1}, \quad (2.3)$$

$$\text{где } \Delta_1 = \left[ a_1^2 a_0^2 \rho_0^2 \tau_0^2 + x_1 \rho_0 a_0^2 \tau_1^2 \frac{x_0}{\beta_0} + \tau_0 \tau_2 - 2x_0 a_1^2 \tau_1 \tau_2 - a_1^2 (\tau_1^2 + \tau_2^2) \right]$$

$$-a_3 \frac{\beta_0}{\gamma_0} \rho_0 a_0^2 z_2^2 + a_3 [z^2 - a_1^2 (\xi_1^2 + \xi_2^2)] \left\{ P \frac{\partial P}{\partial x_1} - \frac{1}{y} \frac{\beta_0}{\rho_0^2} a_1^2 z_2^2 P + \right. \\ \left. + \frac{1}{y} \frac{a_0^2 \beta_0}{\rho_0^2} [z^2 - a_1^2 (\xi_1^2 + \xi_2^2)] P \right\};$$

$$\Delta_0 = [z^2 - a_1^2 (\xi_1^2 + \xi_2^2)] (z^2 - a_1^2 \xi_1^2) - a_0^2 z_2^2,$$

причем, введены обозначения:

$$a_1 = -2 \frac{\beta_1^2}{\rho_0^2 a_0^2 \mu}; \quad a_2 = -\frac{a_1^2 a_0 \beta_1^2}{a_0^2 \rho_0^2 \mu} \frac{1}{1 - a_1^2 a_0^2}; \quad a_3 = -2 a_2 \frac{1}{\rho_0 a_0^2}.$$

Если в выражениях  $\Delta_0$  и  $\Delta_1$  перейти к переменным [7]

$$x_1 = a_3 \frac{x}{t} + \frac{\beta_2}{t} \frac{y}{t} - 1, \quad a_3 = \frac{1}{V} \quad \text{и } t,$$

а в  $\Delta_1$  производные заменить через производные по  $x_1$ , то можно получить:

$$\Delta_1 = \left\{ 3 \frac{\beta_3^2}{\rho_0} \frac{a_1^2 (a_3^2 + \beta_3^2)}{t^2 \mu} + \frac{2 a_2 \mu}{t^4 \rho_0 a_0^2} \right\} \frac{\partial^3}{\partial x_1^3} \left( P \frac{\partial P}{\partial x_1} \right) + \frac{\mu_1}{t^4} \frac{\partial^3 P}{\partial x_1^3}.$$

Для  $\Delta_1$  после вычислений можно получить приближенное выражение [7]:

$$\frac{2 \mu_1}{t^4} x_1 \frac{\partial^3}{\partial x_1^3} - \frac{2 \mu_1}{t^2} \frac{\partial^3}{\partial x_1^3 \partial t} - \frac{\mu_1}{t^4} \frac{\partial^3}{\partial x_1^2 \partial y_1^2} + \frac{\mu_1}{t^4} \frac{\partial^3}{\partial x_1^3},$$

где

$$\mu_1 = 2 - (a_2^2 + a_1^2)(a_3 + \beta_3); \quad y_1 = \left( \frac{1}{V} - a_3 \right) \sqrt{-\beta_3'' y_1^2 t};$$

а  $\beta_3''(z)$  определяется из уравнения для поверхности нормали

$$1 - (a_3^2 + \beta_3^2)(a_0^2 + a_1^2 - a_0^2 a_1^2 z^2) = 0.$$

Подставляя выражения  $\Delta_0$  и  $\Delta_1$  в (2.3), получим:

$$\frac{\partial^4 P}{\partial x_1^4} \frac{2 \mu_2}{t^4} x_1 - \frac{\partial^4 P}{\partial x_1^3 \partial t} \frac{2 \mu_1}{t^2} - \frac{\partial^4 P}{\partial x_1^2 \partial y_1^2} \frac{\mu_1}{t^4} + \frac{\partial^3 P}{\partial x_1^3} \frac{5 \mu_1}{t^4} = \quad (2.4) \\ = \frac{A_1}{\rho_0 a_1^2 t^4} \frac{\partial^3}{\partial x_1^3} \left( P \frac{\partial P}{\partial x_1} \right) + \frac{\mu_1}{t^4} \frac{\partial^3 P}{\partial x_1^3},$$

где

$$A_1 = 3 \beta_3^2 a_0^2 a_1^2 \frac{z_2^2 + \beta_3^2}{1 - a_1^2 (z_2^2 + \beta_3^2)} + 2 a_2 (1 - a_1^2 (z_2^2 + \beta_3^2)).$$

Используя равенство

$$\frac{\partial^4}{\partial x_1^4} \left( x_1 \frac{\partial P}{\partial x_1} \right) = 3 \frac{\partial^3 P}{\partial x_1^3} + x_1 \frac{\partial^4 P}{\partial x_1^4}$$

и вводя функцию  $\varphi = z_1 a_1 \frac{\partial \psi}{\partial x_1}$  (2.4) можно записать в виде

$$i \frac{\partial^2 \varphi}{\partial t \partial x_1} + \frac{\partial^2 \varphi}{\partial x_1^2} \left( \frac{A_1}{2\mu} \frac{\partial z}{\partial x_1} - x_1 \right) + \frac{\partial z}{\partial x_1} + \frac{1}{2} \frac{\partial^2 z}{\partial y_1^2} = 0.$$

Вводя переменные

$$\frac{x_1}{A_1} = \xi, \quad \frac{y_1}{\sqrt{\frac{A_1}{2\mu}}} = \eta, \quad z = \frac{A_1}{2\mu} \psi,$$

(2.7) можно записать в виде

$$i \frac{\partial^2 \psi}{\partial \eta \partial \xi} + \frac{\partial^2 \psi}{\partial \eta^2} \left( \frac{\partial \psi}{\partial \xi} - \xi \right) - \frac{\partial \psi}{\partial \xi} + \frac{1}{2} \frac{\partial^2 \psi}{\partial \eta^2} = 0, \quad (2.5)$$

что совпадает с уравнением коротких волн для однородной непроводящей жидкости в осесимметричной задаче. Тогда решение, полученное для этого случая в [4], а также решение п. 1 верны и для этой задачи.

Ереванский политехнический институт,  
им. К. Маркса

Поступило 11.XI.1970

Ա. Ա. ԳՈՐԳԻՆՅԱՆ

ՀԵՎՈՒԿԻ ՇԱՐՅՈՒԱՆ ՊԱՐԱՄԵՏՐՆԵՐԻ ՈՐՈՇՈՒՄԸ ԱՎՔՆԵՐԻ  
ՀԱՏՄԱՆ ԿԵՏԻ ՄՈՏ ԼԵՂՐԱՍԻ ՄԵԹՈԴՈՎ

Ա. մ փ ո փ ո լ ո մ

Դիտվում է իզոտրական սեղմելի հեղուկ կիսատարածության շարժման առանցքառախմբային խնդիրը: Որոշվում է պապի պարամետրները ալիքային հա- կատների հատման կետի մոտ Լեղրասի մեթոդով, որը փնտրող ֆունկցիաները և անկախ փոփոխականները ներկայացնում է  $\xi$  և  $\eta$ : պարամետրներից կախված ֆունկցիաների տեսքով, որտեղ  $\lambda$  բնորոշում է կետի հեռավորությունը հար- վածային ալիքից, իսկ  $\pi$  անկյունային հեռավորությունը: Խնդրի լուծումը բեր- վում է սովորական գրֆերենդիայ ճալատարածների սխեմների, որոնք լուծ- վում են թվային եղանակով: Հատման կետի փոքր շրջակայքում լուծումը ար- տաճայվում է շարքերի տեսքով, որը բավարարում է խնդրի պայմաններին ներառյալ մինչև երկրորդ կարգում բոտ  $\omega$ -ի:

Л И Т Е Р А Т У Р А

1. Legras Jean. Nouvelles applications de la methode de Lightill a l'etudes des ondes de choc. Paris, ONERA 1953, p. 62. Comptes rendus de Seances, 1952

2. Багдоян А. Г. Пространственно нестационарные движения сплошной среды с ударными волнами. Изд. АН Арм. ССР, Ереван, 1961.
3. Багдоян А. Г. Исследование распределения давления на ударной волне. „Известия АН Арм. ССР, серия физ.-мат. наук“, т. XVII, № 4, 1964.
4. Багдоян А. Г., Гургения А. А. Приближенное решение ряда нелинейных задач определения ударных волн в сжимаемой жидкости. „Известия АН Арм. ССР. Механика“, т. XXI, № 1, 1968.
5. Гургения А. А. Применение метода Лагранжа к задаче о движении жидкого полупространства. „Известия АН Арм. ССР. Механика“, т. XXIV, № 5, 1971.
6. Багдоян А. Г. Некоторые нелинейные задачи о движении сжимаемой жидкости. Изд. АН Арм. ССР. Ереван, 1967.
7. Багдоян А. Г. Определение параметров движения среды вблизи каустики. „Известия АН Арм. ССР. Механика“, т. XXIII, № 2, 1970.
8. Бай Ши-и. Магнитная гидродинамика. М., 1964.

ГИДРАВЛИКА

А. И. МАРКАРЯН

РАСЧЕТ СЖАТИЯ ВОЗДУХА, ЗАЩЕМЛЕННОГО В МЕСТЕ  
 РАЗРЫВА СПЛОШНОСТИ ПОТОКА В ТРУБОПРОВОДЕ

Для снижения ударного давления в трубопроводах насосных станций А. Ф. Мошин [1] предлагает произвести выпуск и защемление воздуха в местах образования разрывов сплошности потока. Защемленный воздух, играя роль буфера, изменяет условия образования отраженных волн повышения и понижения давления на границах разошедшихся колонн воды. По мере сближения колонн воздух постепенно сжимается, что удлиняет процесс протекания гидравлического удара и тем самым исключает возможность мгновенного повышения давления.

Методика расчета гидравлического удара при выпуске и защемлении воздуха в местах образования разрывов сплошности потока, основанная на применении уравнений упругого гидравлического удара, отличается сложностью и трудоемкостью. Учет волнового характера протекания процесса гидравлического удара не позволяет непосредственно определить максимум повышения давления без промежуточных расчетов.

Целью настоящей статьи является упрощение расчетов гидравлического удара при выпуске и защемлении воздуха в местах образования разрывов сплошности потока путем применения уравнения неустановившегося движения несжимаемой жидкости в неупругой трубе.

Во избежание распространения колебаний повышения и понижения давления по всей длине трубопровода на вероятных местах образования разрывов сплошности потока рекомендуется устанавливать на трубопроводе отсекающие обратные клапаны и клапаны для выпуска и защемления воздуха [1].

Предположим, что после выключения насоса в промежуточной точке трубопровода образуется разрыв сплошности потока, вследствие чего колонны воды раздвигаются на расстояние  $l_p$ . Если в месте образования разрыва сплошности потока произвести выпуск воздуха, то расстояние между разошедшимися колоннами увеличится. Обозначим это расстояние  $l_n$  (рис. 1). Определим повышение давления в защемленном воздухе при сближении ко-

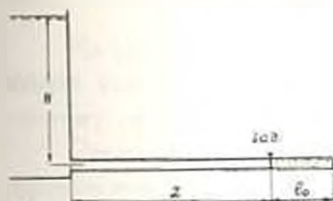


Рис. 1.

лонны воды к отсекающему обратному клапану, установленному на правой границе воздушного участка трубы. Для этой цели рассмотрим неустановившееся движение воды в простом трубопроводе с защем-

ленным воздухом в конце (рис. 1). На границе раздела воды и воздуха установлена задвижка. Начальное абсолютное давление воздуха  $p_{00}$ .

Пусть в момент времени  $t = 0$  мгновенным открытием задвижки вызвано неустановившееся движение воды. Определим скорость движения воды и давление воздуха в зависимости от времени. Будем считать, что в период сжатия воздуха не происходит его растворения в воде и объем воздуха пренебрежимо мал по сравнению с объемом воды, заключенной в трубе, то есть  $l_0 \ll L$ . Примем также, что передний фронт колонны воды плоский и перпендикулярен к оси трубы. В действительности при движении колонны передний фронт принимает пологую форму, а воздух собирается в верхней части трубы. Однако при этом объем воздуха не меняется, и такая идеализованная схема не может принести к существенному изменению истинной картины явлений.

Если пренебречь потерями напора и скоростным напором, то уравнение неустановившегося движения несжимаемой жидкости в неупругой трубе запишется в виде:

$$H + \frac{p_{00}}{\gamma} = \frac{p}{\gamma} + \frac{L}{g} \frac{dv}{dt}, \quad (1)$$

где  $p_{00}$  — атмосферное давление;  $p$  — абсолютное давление воздуха;  $v$  — скорость движения воды;  $t$  — время;  $L$  — длина трубы.

Уравнение (1) содержит две неизвестные функции  $p(t)$  и  $v(t)$ . Скорость движения колонны воды можно определить из выражения:

$$v dt = - dl. \quad (2)$$

Связь между давлением и объемом воздуха выражается уравнением состояния газа.

При изотермическом сжатии воздуха будем иметь:

$$p_{00} l_0 = pl. \quad (3)$$

Решая уравнение (1) с учетом уравнений (2) и (3) при начальном условии

$$t = 0 \quad v = 0 \quad \text{и} \quad p = p_{00}, \quad (4)$$

получим

$$\frac{v}{v_*} = \int \left[ 2 \left( 1 - \frac{p_{00}}{p} \right) - \ln \frac{p}{p_{00}} \right]^{1/2} dl, \quad (5)$$

где

$$v_* = \left[ 2g \frac{p_{00} l_0}{\gamma L} \right]^{1/2} = \left[ 2 \frac{\gamma H}{p_{00}} \right]^{1/2}. \quad (6)$$

Адиабатическое сжатие воздуха характеризуется уравнением

$$p_{00} l_0^k = pl^k, \quad (7)$$

где  $k$  — показатель адиабаты (для воздуха  $k = 1.4$ ).

Совместное решение уравнений (1), (2) и (7) с учетом (4) дает:

$$\frac{v}{v_*} = \sqrt{\varepsilon \left( 1 - \frac{p_{ат}^{1/k}}{p^{1/k}} \right) - \frac{1}{k-1} \left( \frac{p^{(k-1)/k}}{p_{ат}^{(k-1)/k}} - 1 \right)}. \quad (8)$$

Скорость  $v$ , характеризует разгонную способность заземленного воздуха. Чем больше длина участка заземленного воздуха в трубе, тем больше  $v_*$ , следовательно, и скорость движения воды.

На рис. 2 приведена зависимость  $\frac{v}{v_*} \left( \frac{p}{p_{ат}} \right)$  при изотермическом и адиабатическом сжатии воздуха для  $\varepsilon = 2$  и  $\varepsilon = 3$ .

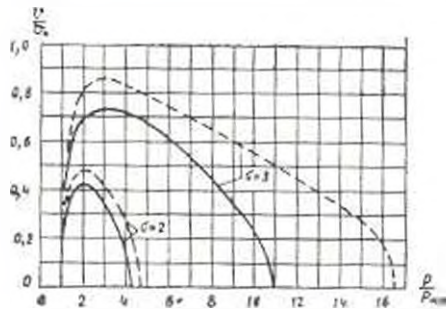


Рис. 2 Кривые зависимости  $v/v_*$  от  $p/p_{ат}$ :

- — — изотермическое сжатие;
- — — адиабатическое сжатие.

Из (5) и (8) легко заметить, что скорость движения воды достигает максимума при  $p/p_{ат} = \varepsilon$ . Это означает, что при изменении  $p/p_{ат}$  в интервале  $[1, \varepsilon]$  движение ускоренное, а в интервале  $[\varepsilon, p_{max}/p_{ат}]$  движение замедленное. При изотермическом сжатии максимальная скорость будет:

$$v_{max} = v_* \sqrt{\varepsilon - 1 - \ln \varepsilon}, \quad (9)$$

а при адиабатическом —

$$v_{max} = v_* \sqrt{\varepsilon - \frac{1}{k+1} - \frac{k}{k-1} \varepsilon^{1/k}}. \quad (10)$$

Из (5) и (8) следует, что  $v = 0$  либо при  $p = p_{ат}$  [это соответствует условию (4)], либо при  $p = p_{max}$ , что соответствует максимально сжатому состоянию воздуха.

Стало быть, максимальные давления при изотермическом и адиабатическом сжатиях соответственно определяются выражениями:

$$\varepsilon \left( 1 - \frac{p_{ат}}{p_{max}} \right) - \ln \frac{p_{max}}{p_{ат}} = 0, \quad (11)$$

$$\varepsilon \left( 1 - \frac{p_{ат}^{1/k}}{p_{max}^{1/k}} \right) - \frac{1}{k-1} \left( \frac{p_{max}^{(k-1)/k}}{p_{ат}^{(k-1)/k}} - 1 \right) = 0. \quad (12)$$

Из (11) и (12) следует, что  $p_{\max}$  зависит только от напора и не зависит от длины участка заземленного воздуха.

В действительности процесс сжатия воздуха будет политропным. С одной стороны, пространство, куда впускается воздух, заполнено водовоздушной смесью и имеется интенсивный отвод тепла от воздуха к воде [1]. Поэтому в процессе сжатия температура воздуха изменяется незначительно (в этом отношении процесс близок к изометрическому). С другой стороны, процесс сжатия происходит за короткий промежуток времени и происходит частичный отвод тепла от воздуха к воде (процесс близок к адиабатическому).

Для оценки эффекта, получаемого при пуске и заземлении воздуха в месте образования разрыва, определим  $p_{\max}$  при отсутствии воздуха. В этом случае в (1)  $p$  следует заменить давлением насыщенных паров  $p_{\text{нас}}$ . Тогда уравнение (1) будет характеризовать равноускоренное движение воды. Очевидно, что в момент времени, когда граница колонны воды достигнет закрытого конца трубы, скорость движения воды будет максимальной и равной:

$$v_{\max} = \sqrt{2g \left( H + \frac{p_{\text{ат}}}{\gamma} - \frac{p_{\text{нас}}}{\gamma} \right) \frac{l_p}{L}} \quad (13)$$

В месте образования разрыва потока величину вакуума принимая максимальной  $h_{\text{в}} = 10$  м вод. ст. ( $p_{\text{ва}} = 0$ ), (13) запишется в виде:

$$v_{\max} = \sqrt{2g \frac{p_{\text{ат}}}{\gamma} + \frac{l_p}{L}} \quad (14)$$

Максимальное повышение давления, вызванное гашением скорости  $v_{\max}$ , будет [2]:

$$p_{\text{на}} = \alpha \sqrt{2 \frac{\gamma}{g} p_{\text{ат}} + \frac{l_p}{L}} \quad (15)$$

где  $\alpha$  — скорость распространения волн изменения давления.

Из (15) видно, что при отсутствии воздуха величина максимального повышения давления зависит от  $l_p$  и  $L$ , что не имело места при заземлении воздуха.

Для нахождения функции  $p(t)$  воспользуемся уравнениями (2), (3) и (5). После несложных преобразований получим:

$$d \left( \frac{t}{\tau_{*}} \right) = \frac{d \left( \frac{p}{p_{\text{ат}}} \right)}{\frac{p^2}{p_{\text{ат}}^2} \sqrt{2 \left( 1 - \frac{p_{\text{нас}}}{p} \right) - \ln \frac{p}{p_{\text{ат}}}}} \quad (16)$$

где

$$\tau_{*} = \frac{l_0}{v_{*}} = \sqrt{\frac{\gamma l_0 L}{2g p_{\text{ат}}}} \quad (17)$$

— некоторый параметр времени.

Вводя новое переменное  $x = 1 - p_{01}/p$ , (16) представится в виде:

$$d\left(\frac{t}{\tau_*}\right) = \frac{dx}{1 - \frac{2}{k}x + \ln(1-x)}. \quad (18)$$

Из уравнений (2), (7) и (8) для адиабатического сжатия получим:

$$d\left(\frac{t}{\tau_*}\right) = \frac{dx}{\sqrt{2x - \frac{1}{k-1}[(1-x)^{1-k} - 1]}}, \quad (19)$$

где

$$x = 1 - p_{01}^{1/k} p^{1/k}.$$

По уравнениям (18) и (19) при  $t=0$   $x=0$  на ЭВМ вычислены значения функции  $p\left(\frac{t}{\tau_*}\right)$  для  $\tau=2$  и  $\tau=3$ . Графики зависимости

$\frac{p}{p_0}\left(\frac{t}{\tau_*}\right)$  приведены на рис. 3. С помощью этих зависимостей и формул (5) и (8) построены графики функции  $\frac{v}{v_*}\left(\frac{t}{\tau_*}\right)$ , которые представлены на рис. 3.

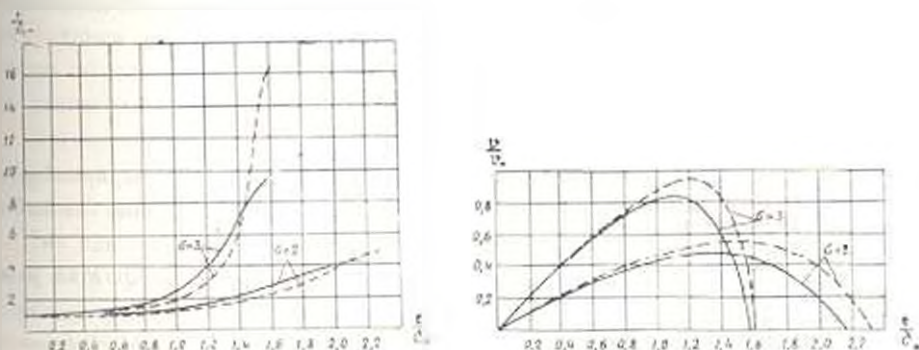


Рис. 3. Кривые зависимости  $p, p_{01}$  и  $v, v_*$  от  $t/\tau_*$ .

— — — изотермическое сжатие;  
 - - - - - адиабатическое сжатие.

Из графиков рис. 3 следует, что промежуток времени, в течение которого давление достигает максимума, зависит от параметров  $\tau$  и  $\tau_*$ . Из (6) и (17) следует, что этот промежуток времени зависит от  $H, l_0$  и  $L$ .

Как видно из рис. 3, эффект торможения потока заземленным воздухом усиливается после достижения скорости движения воды максимума.

### В ы в о д ы

1. Максимальное повышение давления при впуске и заземлении воздуха в месте образования разрыва сплошности потока не зависит от  $H, l_0$  и  $L$ .

от длины зоны разрыва, а зависит только от статического напора в месте образования разрыва.

2. Впуск и защемление воздуха в месте образования разрыва сплошности потока снижает давление, когда длина разрыва сплошности потока больше ее предельного значения, определяемого совместным решением уравнений (11) и (15) для изотермического сжатия воздуха и (12), (15) для адиабатического.

3. Впуск и защемление воздуха как мера борьбы с гидравлическим ударом тем эффективнее, чем меньше статический напор в месте образования разрыва сплошности потока. При высоких статических напорах предельное значение длины разрыва возрастает и впуск и защемление воздуха становится нецелесообразным, так как достигаемый при этом эффект незначительный.

Ервандовский политехнический институт  
им. К. Маркса

Получило 15.IV.1971.

Ա. ՅԱ. ՄԱՐԿՐՅԱՆ

ԽՍՀՄ-ԿԱՆԱԾԱՐՈՒԹՅԱՆ ՀԱՅԱՍՏԱՆԻ ԱՆՎՆԴԱՏՈՒԹՅԱՆ ԵՐԵՎԱՆԻ ՏԵԿՆԻԿԻ  
ԻՑԽԱԿԱՆ ՈՒԻՍԵՐՆԵՐՈՒԹՅԱՆ ՀԱՆՐԱՊԵՏՈՒԹՅԱՆ

Ս. մ ֆ ո ֆ ո ս լ մ

Հողմածուրդ դիտվում է պոմպային հայանների խողովակաշարերում ընդ հոսանքի անընդհատության խզման տեղում օդի մուտքի և խցանման հեռանալու մեջման փոփոխության հարցը:

Ցզի խզման և ադիաբատ սեղմման դեպքերի համար ստացված են բանաձևեր առավելագույն մեջումների որոշման համար:

Ռաշված է հոսանքի անընդհատության խզման սահմանային երկարությունը, որից մեծ և փոքր երկարության խողովակների դեպքում օդի մուտքը և խցանումը խզման տեղում բերում է մեջման փոփոխության հակառակ արդյունքների: Ցզի մուտքը և խցանումը հոսանքի անընդհատության խզման տեղում արդյունավետ է, երբ խզվածքի երկարությունը մեծ է նրա սահմանային արժեքից:

#### Л И Т Е Р А Т У Р А

1. Указания по защите водопроводов от гидравлического удара. Гостехиздат, М., 1963.
2. Жуковский И. Е. О гидравлическом ударе в водопроводных трубах. Гостехиздат, М., 1939.

ИЗМЕРИТЕЛЬНАЯ ТЕХНИКА

Р. С. МЕКИНЯН

АНАЛИЗ ВЛИЯНИЯ НЕЛИНЕЙНОСТЕЙ НА ПОКАЗАНИЯ  
 АВТОМАТИЧЕСКИХ ЭЛЕКТРОННЫХ КОМПЕНСАТОРОВ

Известно, что точность измерения, в основном, зависит от нелинейностей, имеющих в элементах прибора. В данной статье приводится анализ работы автокомпенсаторов, в частности, влияния нелинейностей на их показания. Исследовано влияние нелинейностей (типа зоны нечувствительности и ограничения скорости) на характер движения указателя прибора при синусоидальном входном сигнале. При этом не учитывается влияние линейной части прибора.

Наличие зоны нечувствительности в автокомпенсаторах в основном обусловлено инерционностью двигателя и трением в механической передаче. Ограничение же скорости движения указателя объясняется присутствием нелинейности типа "ограничения" в усилителе мощности, которая обусловлена использованием в следящей системе асинхронного двигателя.

Значение предельной скорости движения указателя ( $V_{max}$ ) и зоны нечувствительности ( $\delta$ ) определяется по скоростным характеристикам<sup>1</sup> этих приборов.

Так как скорость движения указателя ограничена, можно сделать вывод, что, когда максимальная скорость изменения входного сигнала не превышает предельной скорости движения указателя, прибор успевает следить за входным сигналом. Максимальная скорость синусоидального сигнала определяется по уравнению

$$V_{max} = \max \dot{x}_{in} = \max A \omega \cos \omega t = A \omega, \quad (1)$$

Для приборов низкого и среднего быстродействия можно принять [1]

$$V_{max} = V_{ср} = E_2 / A \omega, \quad (2)$$

откуда

$$\omega = \frac{E_2}{A V_{ср}}, \quad (3)$$

где  $V_{ср}$  — средняя скорость движения указателя, *мл/сек*;  $E_2$  — диапазон

<sup>1</sup> Под скоростной характеристикой автоматических электронных приборов с отсчетным устройством подразумевается зависимость скорости движения указателя от величины входного сигнала, когда следящая система разомкнута.

измерения прибора, *мс*;  $t_{\text{ш}}$  — время движения указателя по всей длине шкалы при стопроцентном ступенчатом входном сигнале, *сек*;  $A$  — амплитуда входного синусоидального сигнала, *мв*;  $\omega_{\text{п}}$  — предельная частота входного сигнала, *рад/сек*.

Для обобщения принимаем  $E_s = 100\%$ , а амплитуда входного сигнала ( $A$ ) берется в процентах от диапазона измерений. С учетом этого получим:

$$\omega_{\text{п}} = \frac{100}{At_{\text{ш}}} \quad (4)$$

Когда частота входного сигнала превышает предельную ( $\omega_{\text{п}}$ ), указатель прибора не успевает следовать за входным сигналом и кривая движения указателя приближается к треугольной форме, так как максимальная скорость изменения входного сигнала превышает предельную скорость перемещения указателя. В этом случае при некоторой частоте ( $\omega_1$ ) высота треугольника зуба кривой движения указателя соответствует амплитуде синусоидального входного сигнала. Значение этой частоты определяют с учетом того, что за четверть периода синусоидального входного сигнала перемещение указателя по шкале должно соответствовать амплитуде измеряемого сигнала. Исходя из этого, будем иметь:

$$\omega_1 = \frac{\pi}{2} \cdot \frac{E_s}{At_{\text{ш}}} \quad (5)$$

Если  $E_s$  и  $A$  даны в процентах, то

$$\omega_1 = \frac{50\pi}{At_{\text{ш}}} \quad (6)$$

В случае наличия зоны нечувствительности на выходе прибора получаются синусоидальные ( $V_{\text{п.н.}} < V_{\text{ср}}$ ) или треугольные ( $V_{\text{п.н.}} > V_{\text{ср}}$ ) коле-

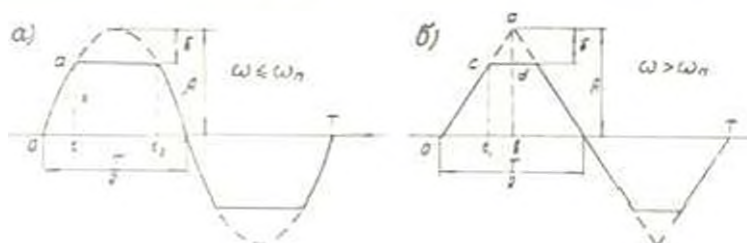


Рис. 1.

бания со срезанными верхушками с высотой полуцикла  $a = A - \delta$  (рис. 1, а и б), так как коэффициент передачи прибора  $K_{\text{пр}} = 1^*$ . Здесь принято, что до частоты  $\omega_1$  линейная часть прибора не влияет на характер движения указателя.

Из рис. 1, а видно, что, при значении выходного сигнала  $a$  ука-

\* Шкала прибора градуирована по величине входного сигнала.

затель прибора, из-за наличия зоны нечувствительности, останавливается и остается неподвижной в течение времени  $t_1 - t_0$ , затем движется по синусоидальному закону. Таким образом, в момент времени  $t_1$  показание прибора будет:

$$X_{\text{вых}}(t_1) = A - \delta. \quad (7)$$

До момента времени  $t_1$  указатель прибора движется по синусоидальному закону, т. е., когда  $t \leq t_1$ ,  $X_{\text{вых}}(t) = X_{\text{вх}}(t)$ . В момент времени  $t_1$  имеем:

$$A - \delta = A \sin \pi t_1. \quad (8)$$

Отсюда следует, что

$$t_1 = \frac{T}{2\pi} \arcsin \left( 1 - \frac{\delta}{A} \right). \quad (9)$$

Из рисунка 1, а видно, что время действия зоны нечувствительности равно:

$$t_{\text{ин}} = t_0 - t_1 \quad (\text{где } t_0 = T/2 - t_1),$$

следовательно,

$$t_{\text{ин}} = T/2 - 2t_1. \quad (10)$$

С учетом (9) уравнение (10) принимает вид

$$t_{\text{ин}} = \frac{T}{2} \left[ 1 - \frac{2}{\pi} \arcsin \left( 1 - \frac{\delta}{A} \right) \right]. \quad (11)$$

Для частоты  $\omega_1$  (рис. 1, б) время действия зоны нечувствительности будет:

$$t_{\text{ин}} = \frac{T}{A} \cdot \frac{\delta}{A}, \quad (12)$$

соответственно

$$t_1 = \frac{T}{4} \left( 1 - \frac{\delta}{A} \right). \quad (13)$$

На рис. 2 и 3 даны зависимости относительного времени действия зоны нечувствительности от амплитуды входного синусоидального сигнала при различных значениях зоны нечувствительности\*.

Имея величину зоны нечувствительности прибора, задаваясь величиной амплитуды входного синусоидального сигнала, по графикам (рис. 2 и 3) можно определить относительное время действия зоны нечувствительности ( $t_{\text{ин}}/T$ ). Исходя из этого, можно определить величину времени действия зоны нечувствительности ( $t_{\text{ин}}$ ) на периодический выходной сигнал для каждой частоты в отдельности, лежащей в допустимых пределах, определяемой формулами (4) и (6).

\* Амплитуда входного синусоидального сигнала и зоны нечувствительности даны в процентах от диапазона измерений.

Для определения первой гармоники кривой изменения показания прибора (см. рис. 1, а и б) при синусоидальном входном воздействии необходимо подсчитать коэффициенты ряда Фурье ( $a_0$ ,  $a_1$  и  $b_1$ ).

В автоматических приборах с отсчетным устройством постоянная составляющая кривой изменения показания ( $a_0$ ) в пределах класса точности прибора равна постоянной составляющей входного синусоидального возмущения, так как в этих приборах шкала проградуирована по величине входного сигнала.

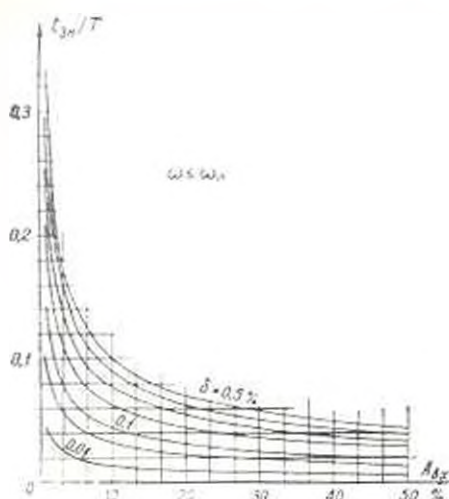


Рис. 2.

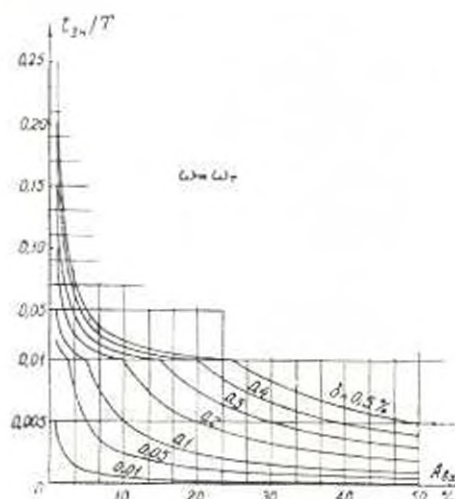


Рис. 3.

Из рис. 1, а и б видно, что приведенные зависимости однозначны, т. е.  $a_1 = 0$ . Соответственно до частоты  $\omega$ , входного сигнала фазовый сдвиг между входом и выходом прибора равен нулю. В экспериментальных характеристиках фазовый сдвиг в этом диапазоне частот появляется за счет наличия запаздывания в системе и влияния его линейной части. Таким образом, определение амплитуды первой гармоники выходного сигнала прибора (кривой движения указателя) приводит к вычислению коэффициента  $b_1 = A$ .

Для случая, показанного на рис. 1, а, амплитуда первой гармоники выходного сигнала определяется по выражению:

$$A_1 = \frac{4}{T} \left| \int_0^{T/2-t_1} a \sin \omega t dt + \int_{T/2-t_1}^{T/2+t_1} A \sin^2 \omega t dt \right|. \quad (14)$$

Используя (9), при  $a = A \frac{\delta}{A}$  будем иметь:

$$A_1 = \frac{2A}{\pi} \left| \left( 1 - \frac{\delta}{A} \right) \sqrt{1 - \left( 1 - \frac{\delta}{A} \right)^2} + \arcsin \left( 1 - \frac{\delta}{A} \right) \right|. \quad (15)$$

Для случая, показанного на рис. 1, б:

$$A_1 = \frac{4}{T} \left[ \int_{t_1}^{T/2-t_1} a \sin \omega t dt + \int_{T/2-t_1}^{T/2+t_1} \frac{a(T/2-t)}{t_1} \sin \omega t dt \right] \quad (16)$$

Используя (13), при  $a = A - \delta$  будем иметь:

$$A_1 = \frac{8A}{\pi^2} \sin \frac{\pi}{2} \left( 1 - \frac{\delta}{A} \right), \quad (17)$$

На рис. 4 приведена зависимость относительной амплитуды первой гармоники кривой движения указателя прибора ( $A_1/A_{нх}$ ) от величины зоны нечувствительности при различных амплитудах входного синусоидального сигнала. Когда  $\omega > \omega_n$ , кривая движения указателя прибора приобретает форму трапеции, поэтому амплитуда первой гармоники увеличивается. При достижении частоты  $\omega_n$  амплитуда первой

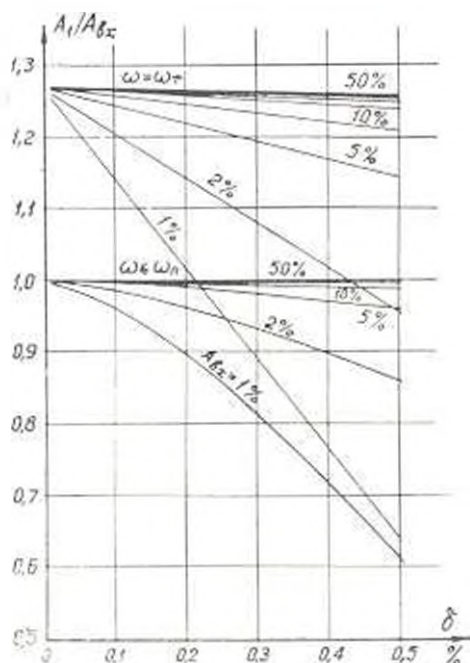


Рис. 4.

гармоники имеет максимальное значение. Когда  $\omega > \omega_n$ , кривая движения указателя может снова приблизиться к синусоиде, благодаря сглаживающему действию линейной части прибора. Значения амплитуды первой гармоники и характерные частоты, полученные по предлагаемой методике, проверены экспериментально. Опыты проведены на приборах типа КСП и ЭПП с  $t_{ин} = 2,5$  сек и типа ПС и МС с  $t_{ин} = 8,0$  сек [2, 3].

Таким образом, можно сделать следующее заключение. При больших амплитудах входного синусоидального сигнала ( $A > 10^0_0$ ) полу-

ческие теоретические выводы достаточно хорошо согласуются с результатами эксперимента. При малых амплитудах входного сигнала ( $A < 10^{10}$ ) значения частот  $\omega_{II}$  и  $\omega_{I}$ , вычисленные по формулам (4) и (6), получаются больше экспериментальных. Это объясняется тем, что в этих условиях торможение и разгон реверсивного двигателя оказывают влияние на скорость перемещения указателя прибора.

Ереванский политехнический институт  
им. К. Маркса

Поступило 27.X.1970.

Ռ. Ս. ՄԵԿԻՅԱՆ

ԱՎՏՈՄԱՏ ԷԼԵԿՏՐՈՆԱՅԻՆ ՉԱՄԱԿՇՈՂՆԵՐԻ ԶՈՒՅՄՈՒՆՔՆԵՐԻ ՎՐԱ  
ՈՂ-ԿՍԱՅՆՈՒԹՅՈՒՆՆԵՐԻ ԱԶԴԵՑՈՒԹՅԱՆ ՎԵՐԼՈՒԿՈՒԹՅՈՒՆ

Ս. մ փ ո Վ ո լ մ

Հողփածում տրված են արտահայտություններ, որոնց միջոցով որոշվում է շափացույցի շարժման բնույթի վրա ազդող անդրաշնորհայն սահմանի տեղագրության համեմատական մեծությունը՝ կախված մուտքի զրգոման սինուսակերպ տատանման ամպլիտուդայից և հանախությունից: Այդ դեպքում հաշվի չի առնվում սարքի զծային մասի ազդեցությունը: Բերված են նաև հափա-սարումներ, որոնց միջոցով որոշվում է ավամատ համակցողների շափա-ցույցի շարժման կորի առաջին հարմոնիկայի ամպլիտուդան այն դեպքերի համար, երբ շափացույցը հասցնում է կամ չի հասցնում նետել մուտքի զըր-պուման փոփոխմանը: Բերված են գրաֆիկներ նշված մեծությունների որոշման համար:

Л И Т Е Р А Т У Р А

1. Кляндер М. С. Частотные характеристики электронного потенциометра. «Измерительная техника», № 2, 1964.
2. Бунин Н. П., Мекинян Р. С., Преображенский В. П. Динамические свойства электронного потенциометра КСП-4. Сб. «Доклады научно-технической конференции по итогам научно-исследовательских работ за 1968-69 г.г. Секция тепловычислительная, подсекция—автоматизации производственных процессов», МЭИ, 1969.
3. Бунин Н. П., Мекинян Р. С., Преображенский В. П. Динамические свойства электронных потенциометров типа ПС и мостов типа МС. Сб. «Доклады научно-технической конференции по итогам научно-исследовательских работ за 1966-67 г.г. Секция тепловычислительная, подсекция—автоматизации производственных процессов», МЭИ, 1967.

ЭЛЕКТРОТЕХНИКА

С. Г. АМАМЧЯН, В. С. АРУТЮНЯН

ИНДУКТИВНОЕ СОПРОТИВЛЕНИЕ ДОПОЛНИТЕЛЬНОЙ  
 ОБМОТКИ В СИНХРОННЫХ МАШИНАХ С ВОЗБУЖДЕНИЕМ  
 ОТ ТРЕТЬЕЙ ГАРМОНИКИ ПОЛЯ

1. Одним из перспективных направлений по улучшению надежности и экономичности синхронных машин с автоматическим регулированием возбуждения является переход на встроенную систему возбуждения с использованием третьей гармоники поля [1—3]. Питание обмотки возбуждения через выпрямитель при этом осуществляется от специальной дополнительной обмотки (ДО), устанавливаемой в пазах вместе с основной обмоткой якоря. Наиболее целесообразная конструкция ДО имеет вид симметричной трехфазной обмотки с числом полюсов, утроенным по отношению к основной обмотке, с шагом, возможно близким к трети полюсного деления. Для разработки и исследования такой системы возбуждения необходимо определение индуктивного сопротивления ДО. Величина этого параметра имеет важное значение при определении мощности, генерируемой ДО, а также при определении внешних характеристик синхронной машины.

2. Для  $m$ -фазной ДО индуктивное сопротивление фазы, с учетом взаимоиндуктивности от других фаз, при синусоидальном распределении и. с. и неявнополюсном роторе, может быть определено в виде:

$$x_{03} = \frac{4m}{3} f_1 \frac{\mu_0^2 l}{\delta k} \frac{(w_3 k_{063})^2}{p_1} \quad (1)$$

где  $f_1$  — частота первой гармоники поля;  $\tau$  — полюсное деление машины;  $l$  — длина якоря (расчетная);  $\delta$  — величина воздушного зазора;  $k$  — коэффициент воздушного зазора;  $w_3$  — число витков в фазе ДО;  $K_{063}$  — обмоточный коэффициент ДО для третьей гармоники поля;  $p_1$  — число пар полюсов машины;  $\mu_0$  — магнитная проницаемость воздуха.

Индуктивное сопротивление  $x_{03}$  является сопротивлением реакции ДО. Полное индуктивное сопротивление ДО

$$x_{\Sigma} = x_{03} + x_{\text{расс}}$$

где  $x_{\text{расс}}$  — индуктивное сопротивление рассеяния.

3. При явнополюсном роторе характер реакции ДО и ее индуктивное сопротивление изменяются. В этом случае кривая поля  $B_3(x)$  имеет несинусоидальную форму (рис. 1, а) и зависит от величины

воздушного зазора  $b$ , коэффициента полюсного перекрытия  $\alpha$ , отношений  $b_m/b$ ,  $\delta/\tau$  и угла между осями полюса и п.с. ДО  $\beta = \frac{\pi}{\tau} b$ .

Особенности реакции ДО при явнополюсном роторе удобно выявить в простейшем случае, когда величина воздушного зазора на протяжении полюсного наконечника весьма мала ( $b \approx 0$ ), что позволяет пренебречь краевыми эффектами и принять  $b_m/b = 1$ .

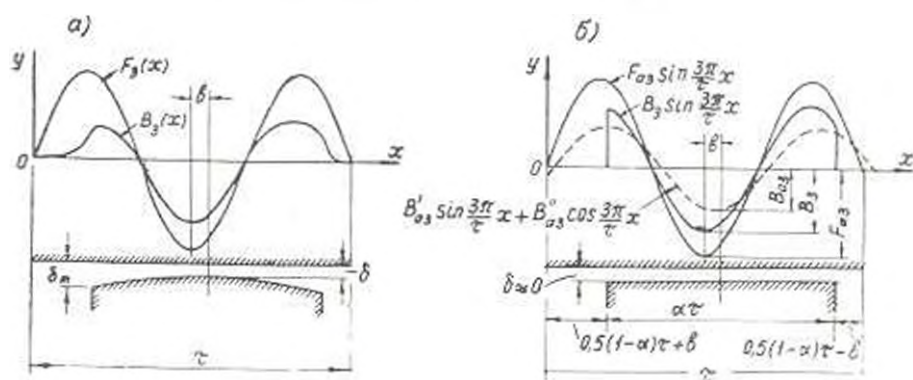


Рис. 1. Реакции ДО при реальном (а) и идеализированном (б) роторах.

При  $\delta_n = 0$  кривая индукции в воздушном зазоре  $B_3(x)$  в пределах полюсного наконечника воспроизводит форму кривой п. с.:

$$F_3(x) = F_{a3} \sin \frac{3\pi}{\tau} x; \quad B_3(x) = B_3 \sin \frac{3\pi}{\tau} x.$$

Амплитуда третьей гармоники поля

$$B_{a3} = \sqrt{(B_{a3}')^2 + (B_{a3}'')^2},$$

где

$$B_{a3}' = \frac{2}{\tau} \int_0^{0,5(1-\alpha)\tau + b} B_3(x) \sin \frac{3\pi}{\tau} x dx = \frac{2}{\tau} \int_{0,5(1-\alpha)\tau - b}^{0,5(1+\alpha)\tau + b} B_3 \sin^2 \frac{3\pi}{\tau} x dx;$$

$$B_{a3}'' = \frac{2}{\tau} \int_0^{0,5(1-\alpha)\tau + b} B_3(x) \cos \frac{3\pi}{\tau} x dx = \frac{2}{\tau} \int_{0,5(1-\alpha)\tau - b}^{0,5(1+\alpha)\tau + b} B_3 \sin \frac{3\pi}{\tau} x \cos \frac{3\pi}{\tau} x dx.$$

С учетом  $b = \frac{2}{3}\tau$  получим:

$$B_{a3}' = B_3 \left( x + \frac{\sin 3\pi x}{3\pi} \cos 6\beta \right); \quad B_{a3}'' = B_3 \left( \frac{\sin 3\pi x}{3\pi} \sin 6\beta \right).$$

Окончательно амплитуда третьей гармоники поля будет:

$$B_{a3} = B_3 \sqrt{x^2 + 2x \frac{\sin 3\pi x}{3\pi} \cos 6\beta + \frac{\sin^2 3\pi x}{9\pi^2}}.$$

Коэффициент формы поля

$$k_3 = \frac{B_{ad3}}{B_3} = \sqrt{z^2 + 2z \frac{\sin 3\pi\alpha}{3\pi} \cos 6\beta - \frac{\sin^2 3\pi\alpha}{9\pi^2}} \quad (2)$$

учитывает уменьшение третьей гармоники поля реакции ДО из-за явноразнополюсности и сдвига осей н. с. ДО и полюса. Значения  $k_3$  экстремальны при  $\beta = 0$  и  $\beta = \pi/6$ , причем, период  $k_3(\beta)$  составляет  $\pi/6$ .

В явнополюсной машине основная обмотка имеет аналогичные свойства, но уже при утроенном значении углов  $\beta$ . Поскольку реакция основной обмотки допускает разложение по продольной и поперечной осям, то и реакция ДО может быть разложена на две составляющие. Но здесь, в отличие от основной обмотки, в соответствующих выражениях аргументы тригонометрических функций должны быть утроены.

По аналогии с теорией двух реакций разложим н. с.  $F_{ad3}$  на две составляющие:

$$F_{ad3} = F_{ad3} \cos 3\beta,$$

экстремум которой совпадает с осью полюса, и

$$F_{ad3} = F_{ad3} \sin 3\beta,$$

экстремум которой сдвинут относительно оси полюса на 30 эл.град по периоду основного поля\*. Третьи гармоники соответствующих индукций при совмещении начала координаты  $x$  с центром полюса составляют:

$$\begin{aligned} B_{ad3} &= \frac{\mu_0}{\delta} F_{ad3} \left( z + \frac{\sin 3\pi\alpha}{3\pi} \right) \cos \frac{3\pi}{\tau} x; \\ B_{ad3} &= \frac{\mu_0}{\delta} F_{ad3} \left( z - \frac{\sin 3\pi\alpha}{3\pi} \right) \sin \frac{3\pi}{\tau} x. \end{aligned} \quad (3)$$

В (3) величины

$$k_{ad3} = k_3(0) = z + \frac{\sin 3\pi\alpha}{3\pi} \quad \text{и} \quad k_{ad3} = k_3\left(\frac{\pi}{6}\right) = z - \frac{\sin 3\pi\alpha}{3\pi}$$

являются коэффициентами поля реакции ДО по соответствующим осям. Зависимости  $k_{ad3}$  и  $k_{ad3}$  от  $z$  при идеализированном рассмотрении приведены на рис. 2.

В соответствии с вышеизложенным сопротивление реакции ДО для явнополюсной машины будет:

$$x_{ad3} = x_{ad3} \sqrt{z^2 + 2z \frac{\sin 3\pi\alpha}{3\pi} \cos 6\beta - \frac{\sin^2 3\pi\alpha}{9\pi^2}},$$

а сопротивление реакции ДО по осям запишется в виде:

$$x_{ad3} = x_{ad3} k_{ad3}; \quad x_{ad3} = x_{ad3} k_{ad3}.$$

\* Здесь индекс  $q$  не относится к поперечной оси машины.

В отличие от основной обмотки, где  $x_{ad1} > x_{aq1}$ , в ДО  $x_{ad3} = x_{aq3}$ . Косвенным подтверждением разницы сопротивлений  $x_{ad3}$  и  $x_{aq3}$  является тот факт, что генератор 60 кВт ( $\lambda = 0,77$ ;  $\delta = 1,5$  мм;  $\delta_m, \delta = 1$ ;  $\tau = 275$  мм) с ДО, подключенной к трехфазному источнику частотой 150 Гц, оказался в состоянии вращаться в режиме синхронного реактивного двигателя. При этом основная обмотка якоря и обмотка возбуждения были разомкнуты. ДО была выполнена с большим числом витков и сечением меди, чем это было необходимо для обеспечения самовозбуждения генератора.

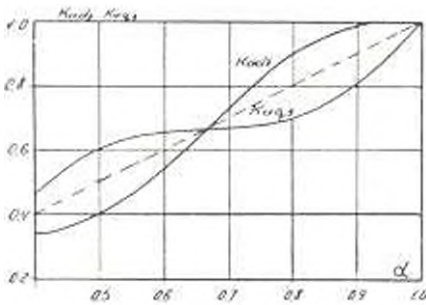


Рис. 2. Коэффициенты формы поля реакции ДО при идеализированном роторе.

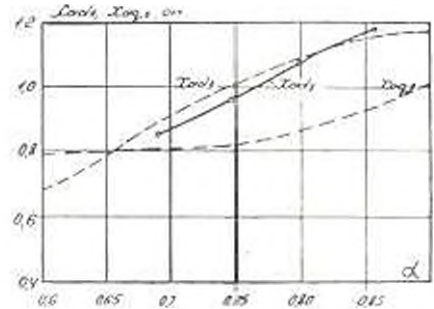


Рис. 3. Зависимость сопротивлений  $x_{ad3}$  и  $x_{aq3}$  от  $\alpha$  для генератора ECC82-4:  
— экспериментальная,  
--- расчетная.

В отличие от основной обмотки, где  $x_{ad1} = x_{aq1}$  при  $\alpha = 1$ , в ДО  $x_{ad3} = x_{aq3}$  при  $\alpha = 1/3; 2/3; 1$ .

В отличие от основной обмотки, где  $x_{ad1}$  и  $x_{aq1}$  обычно заметно отличаются, в ДО это различие между  $x_{ad3}$  и  $x_{aq3}$  гораздо меньше.

4. При рассмотрении общего случая  $\delta \neq 0$  для полей реакции ДО имеем:

$$B_{ad} = \frac{\gamma_0}{\delta} \lambda_c F_{ad3} \cos \frac{3\pi}{\tau} x; \quad (4)$$

$$B_{aq} = \frac{\gamma_0}{\delta} \lambda_c F_{aq3} \sin \frac{3\pi}{\tau} x,$$

где  $\lambda_c = \frac{\delta}{\gamma_0} \Lambda$ , а  $\Lambda$  является удельной магнитной проводимостью на единицу площади зазора.

В соответствии с [4]:

$$\lambda_c = \lambda_0 = \sum_{k=1,2,3} \lambda_k \cos \frac{2k\pi}{\tau} x. \quad (5)$$

Используя (5), выражения (4) запишутся в виде:

$$B_{ad} = \frac{U_0}{\delta} F_{ad3} \left\{ i_0 \cos \frac{3\pi}{\tau} x - \frac{1}{2} \sum_{k=1, 2, 3, \dots} i_{2k} \times \right. \\ \left. \times \left| \cos \frac{(2k-3)\pi}{\tau} x - \cos \frac{(2k+3)\pi}{\tau} x \right| \right\}; \quad (6)$$

$$B_{aq} = \frac{U_0}{\delta} F_{aq3} \left\{ i_0 \sin \frac{3\pi}{\tau} x - \frac{1}{2} \sum_{k=1, 2, 3, \dots} i_{2k} \times \right. \\ \left. \times \left| \sin \frac{(2k-3)\pi}{\tau} x - \sin \frac{(2k+3)\pi}{\tau} x \right| \right\}. \quad (7)$$

Выделяя из (6) и (7) третьи гармоники поля  $B_{ad3}$  и  $B_{aq3}$ , получим, что они обусловлены только проводимостями  $i_0$  и  $i_6$ :

$$B_{ad3} = \frac{U_0}{\delta} F_{ad3} \left( i_0 + \frac{1}{2} i_6 \right) \cos \frac{3\pi}{\tau} x;$$

$$B_{aq3} = \frac{U_0}{\delta} F_{aq3} \left( i_0 - \frac{1}{2} i_6 \right) \sin \frac{3\pi}{\tau} x.$$

Здесь

$$k_{ad3} = i_0 + 0,5 i_6 \quad \text{и} \quad k_{aq3} = i_0 - 0,5 i_6$$

представляют собой коэффициенты формы поля реакции ДО для реального воздушного зазора ( $\delta \neq 0$ ). Значения  $i_0$  и  $i_6$  могут быть определены по кривым, приведенным в [4, 5] для всех практически встречающихся значений  $\alpha$ ,  $k_{a0}$  и  $k_{a2}$ . Рассмотрение значений  $i_0$  и  $i_6$  по [5] показывает, что  $0,5 i_6 / i_0$  характеризующее различие между  $x_{ad3}$ ,  $x_{aq3}$  и их полусуммой, составляет всего  $15^\circ$ , и то время как соответствующее отношение  $0,5 i_6 / i_0$  для основной обмотки несравненно больше.

5. При определении сопротивлений реакции ДО с учетом насыщения стали в (1) необходимо ввести коэффициент  $k_{a3}$ , учитывающий насыщение по пути потока третьей гармоники:

$$x_{a3} = \frac{4m}{3\pi} l_1 \frac{U_0 \tau l}{\delta k k_{a3}} \frac{(w_1 k_{a03})^2}{p}.$$

С достаточной для практических целей точностью коэффициент  $k_{a3}$  может быть определен по выражению:

$$k_{a3} = \frac{F_2 + F_2 - F_a + F_0}{F_1}.$$

где  $F_2$ ,  $F_2$ ,  $F_a$  и  $F_0$  — соответственно п. с. воздушного зазора, зубцов якоря, ярма якоря и зубцов ротора (или полюсного наконечника при явнополюсной машине).

Приемлемость и достаточная практическая точность предлагаемо-

го способа расчета параметров ДО с учетом насыщения подтверждается практическим совпадением экспериментальных и расчетных данных по  $x_{ad}$  (рис. 3). Сопоставление проводилось на макете, выполненном из генератора ЕСС82—4 30 квт, со следующей геометрией активных частей:  $\alpha=0,692$ ;  $0,748$ ;  $0,8$ ;  $0,857$ ;  $\tau=228$  мм;  $2k_0=1,07$  мм;  $\delta_m/\delta=1$ .

Поступило 20.II.1971.

Ս. Գ. ՀԱՄԱՄՉՅԱՆ, Վ. Ս. ՀԱՐՈՒԹՅՈՒՆՅԱՆ

ԳԱՆՏԻ ԵՐՐՈՐԿ ՀԱՐՄԱՆԻԿԱՅԻՑ ԱՆՎՈՂ ԳՐԿԻՄԱՆ ՍԻՍՏԵՄՈՎ ՍԻՆԿՐՈՆ ՄԵԿԵՆԱՅԻ ԼՐԱՑՈՒՅԻՉ ՓԱԹՈՒՅԹԻ ԵՆԴՈՒԿՏԻՎ ԿԻՄԱԳՐՈՒԹՅՈՒՆԸ

### Ա մ փ յ ը փ ո լ մ

Հոդվածը նվիրված է դաշտի երրորդ հարմոնիկայից անվող դրդման սիստեմով սինխրոն մեքենայի լրացուցիչ փաթույթի ինդուկտիվ դիմադրության որոշմանը, Գիտված են մեքենայի բացահայտ և ոչ-բացահայտ բեռներով առտորի առահկները, կրտածված են բանաձևեր, որոնց միջոցով կտանք որոշել լրացուցիչ փաթույթի ինդուկտիվ դիմադրությունը հաշիցման հաշվառումի Կոտարված է հաշվարկային և մակետի մյրա առացված փորձարկման տվյալների համադրում:

### Л И Т Е Р А Т У Р А

1. Krabbe U. Self-excited synchronous generator. Патент США, ял. 322—28, № 3.025.450, заявл. 10. 02. 59, опубли. 13.03.62.
2. Platthaus H. L. Erregung von Synchronmaschinen durch die dritte Harmonische des Luftspaltfeldes. „ETZ—A“, 1963, Bd. 84, H. 23.
3. Антонов М. В., Радия В. И., Трошин В. И. Использование третьей гармоники поля для возбуждения синхронных генераторов. „Известия вузов. Электротехника“, № 3, 1965.
4. Вольдек А. И. Исследования магнитного поля в воздушном зазоре явнополюсных синхронных машин методом гармонических проводимостей. „Электричество“, № 7, 1966.
5. Вольдек А. И., Лахтметс Р. А. Магнитная проводимость воздушного зазора и расчет магнитного поля явнополюсных синхронных машин. „Известия вузов. Электротехника“, № 6, 1968.

НАУЧНЫЕ ЗАМЕТКИ

А. Б. МКРТЧЯН

ОПРЕДЕЛЕНИЕ ОПТИМАЛЬНЫХ ПАРАМЕТРОВ  
 ЭЛЛИПТИЧЕСКИХ КОЛЕС МЕХАНИЗМОВ,  
 ВОСПРОИЗВОДЯЩИХ ПРИБЛИЖЕННО-РАВНОМЕРНОЕ  
 ДВИЖЕНИЕ\*

Во многих текстильных машинах, например, в наматывающих каретках ленточных и роничных машин [1], приближенно-равномерное движение достигается с помощью эллиптических колес с присоединением к ним синусного механизма. Условие равномерного движения ведомого звена синусного механизма будет соблюдено при скорости кривошипа

$$v = \frac{C}{\sin \varphi} \quad (1)$$

где  $C = V/R$ ;  $V$  — скорость ведомого звена;  $R$  — радиус кривошипа;  $\varphi$  — угол поворота кривошипа. На рис. 1, а приведен график зависимости  $\omega(\varphi)$  при  $V = 0,5$  м/сек и  $R = 0,05$  м. При этом

$$\omega = \frac{10}{\sin \varphi} \quad (2)$$

Такой же закон движения можно получить при помощи некруглых колес. В практике часто применяется механизм, кинематическая схема которого изображена на рис. 2 [1, 2], где 1 и 2 — эллиптические колеса с передаточным отношением  $i_{12} = 1$ ; 2' и 3 — цилиндрические зубчатые колеса с  $i_{2'3} = 2$ .

Целью настоящей работы является определение оптимальных параметров эллиптических колес — определение зависимости  $\Delta$  (отклонение скорости от постоянного значения, в процентах) от эксцентриситета эллипса  $e$ . Для этого необходимо построить график зависимости угловой скорости колеса 3  $\omega_3$  от угла поворота  $\varphi_1$  и сопоставить его с зависимостью (2).

Поскольку

$$i_{12} = \frac{\omega_1}{\omega_2} = \frac{1 - 2e \cos \varphi_1 - e^2}{1 - e^2}, \quad (3)$$

\* Научный руководитель д. т. н., проф. Э. А. Горюв.

а  $\omega_2/\omega_3=2$ , то

$$\omega_3 = \frac{\omega_1(1-e^2)}{2(1-2e \cos \tau_1 + e^2)}$$

Известно [3], что

$$\tau_2 = 2 \arctg \left[ \frac{1+e}{1-e} \operatorname{tg} \frac{\tau_1}{2} \right] \quad \text{и} \quad \tau_3 = 2\tau_2,$$

следовательно,

$$\omega_3 = \frac{0,5(1-e^2)\omega_1}{1-2e \cos \left[ 2 \arctg \left( \frac{1-e}{1+e} \operatorname{tg} \tau_1 \right) \right] + e^2} \quad (4)$$

Построим семейство кривых  $\omega_3(\tau_1)$  с таким расчетом, чтобы  $\omega_{\max} - \omega_{\min} = \Delta$ , так как только при таком расположении графиков получим

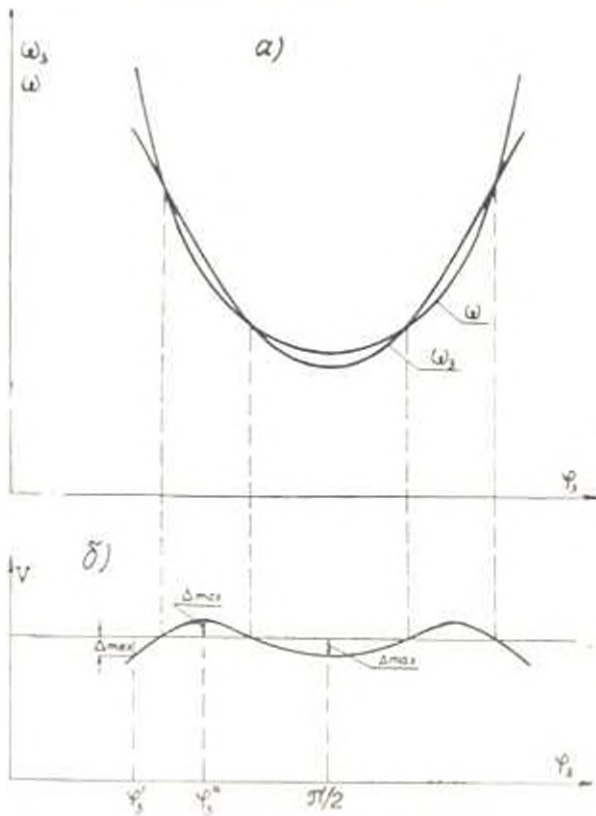


Рис. 1.

наибольшие ходы приближенно-равномерного движения при разных  $\Delta$ . Поскольку кривошип синусного механизма устанавливаем на палу колеса  $Z$  (см. рис. 2), то вместо  $\varphi$  и  $\varphi_3$  можно принять одну обобщенную координату  $\tau_2$ . Исходя из графиков угловых скоростей кривошипа, можно построить графики скоростей ведомого звена и зависимости от

угла  $\varphi_3$  (рис. 1, б). Отклонение  $\delta(\varphi_3)$  от постоянной скорости можно определить по формуле:

$$\frac{0,5 R \sin \varphi_3 \cdot \omega_1 (1 - e^2)}{1 - 2e \cos \left| 2 \arg \operatorname{tg} \left( \frac{1 - e}{1 + e} \operatorname{tg} \varphi_3 \right) \right| - e^2} = V_n = \delta(\varphi_3). \quad (5)$$

Так как графики (рис. 1, а) симметричны относительно  $\varphi_3 = \pi/2$ , то достаточно рассмотреть только их половину. Из рис. 1, б видно, что

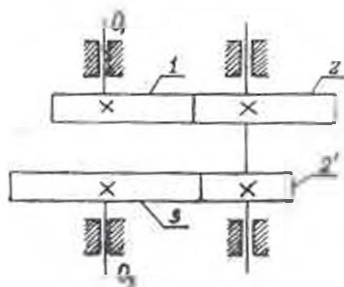


Рис. 2.

отклонение  $\delta$  имеет максимумы при трех значениях  $\varphi_3$ :  $\varphi_3 = \varphi_3$ ,  $\varphi_3 = \pi - \varphi_3$  и  $\varphi_3 = \pi/2$ . При этом неизвестными являются угловая скорость ведущего вала  $\omega_1$ , эксцентриситет эллипса  $e$  и углы  $\varphi_3$  и  $\varphi_3'$ . Для нахождения этих четырех неизвестных составляем систему из четырех уравнений. Напишем три уравнения разности скоростей при углах  $\varphi_3$ ,  $\varphi_3'$  и  $\pi/2$ :

$$\frac{0,5 R \sin \varphi_3 (1 - e^2) \omega_1}{1 - 2e \cos \left| 2 \arg \operatorname{tg} \left( \frac{1 - e}{1 + e} \operatorname{tg} \varphi_3 \right) \right| - e^2} = V_n = -\delta_1 \quad (6a)$$

$$\frac{0,5 R \sin \varphi_3' (1 - e^2) \omega_1}{1 - 2e \cos \left| 2 \arg \operatorname{tg} \left( \frac{1 - e}{1 + e} \operatorname{tg} \varphi_3' \right) \right| - e^2} = V_n = -\delta_2 \quad (6б)$$

$$\frac{0,5 R (1 - e) \omega_1}{1 + e} = V_n = -\delta_3 \quad (6в)$$

Четвертое уравнение системы получим, исходя из условия, что функция  $\delta(\varphi_3)$  имеет максимум в точке  $\varphi_3 = \varphi_3'$ . Приравняв нулю производную выражения (5), будем иметь:

$$\frac{\cos \varphi_3' \left[ 1 - 2e \cos \left| 2 \arg \operatorname{tg} \left( \frac{1 - e}{1 + e} \operatorname{tg} \varphi_3' \right) \right| - e^2 \right] - 4e \sin \varphi_3' \sin \left| 2 \arg \operatorname{tg} \left( \frac{1 - e}{1 + e} \operatorname{tg} \varphi_3' \right) \right| (1 - e^2)}{1 + 2e (\cos^2 \varphi_3' - \sin^2 \varphi_3') + e^2} = 0. \quad (6г)$$

При численных значениях  $V_0 = 0,5$  м/сек,  $R = 0,05$  м и  $\Delta = 0,1; 0,5; 1; 2; 3; 4; 5\%$  на ЭВМ решены 7 вариантов системы уравнений (6).

По результатам машинных вычислений построен график зависимости  $e(\Delta)$  (рис. 3). На участке  $[\tau_1, (\tau_1 - \tau_2)]$  осуществляется приближенно-равномерное движение. Обозначая отношение хода приближенно-равномерного движения к общему ходу через  $H$ , определяем зависимость  $H(\Delta)$  (рис. 3). Из графиков  $e(\Delta)$  и  $H(\Delta)$  видно, что при увеличении отклонения  $\Delta$  возрастают эксцентриситет эллипса  $e$  и область приближенно-равномерного хода. При заданной скорости  $V_0$ , угловая скорость ведущего вала  $\omega$ , определяется из уравнения (6в). Предлагаемая методика исследования применима и для других схем.

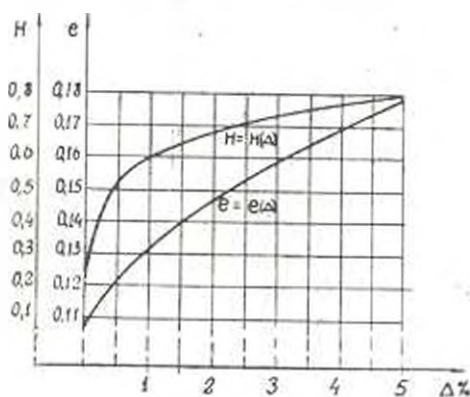


Рис. 1.

**Выводы.** Полученные графики могут быть использованы при проектировании наматывающих кареток ленточных и ровничных машин. Задаваясь отклонением  $\Delta$ , можно определить эксцентриситет эллипса  $e$  и область приближенно-равномерного движения и наоборот, задаваясь областью приближенно-равномерного движения, определить  $e$  и  $\Delta$ . Имея величину  $e$ , можно рассчитать все параметры эллиптических колес.

Московский текстильный  
институт

Поступило 2.V.1971.

#### Л И Т Е Р А Т У Р А

1. Африканов И. А. и др. Шерстопрядильное оборудование. Изд. „Легкая индустрия“, М., 1966.
2. Литвин Ф. А. Непругкие зубчатые колеса. Mashgiz, Л., 1966.
3. Артоболевский И. И. и др. Синтез плоских механизмов. Физматгиз, 1959.

А. А. ГРИГОРЯН, Г. М. ГРИГОРЯН

### ОБ ЭКСТРЕМАЛЬНОМ РЕГУЛИРОВАНИИ ПРОЦЕССА ИЗМЕЛЬЧЕНИЯ РУД

Эффективное управление и регулирование сложными объектами возможно в том случае, когда присущие им основные закономерности возможно представить в виде математического описания, т. е. идентификации объекта, и лишь по нему разработать алгоритм управления [1]. Для описаний можно применять детерминистический путь по теоретическому рассмотрению динамики процесса, или статистический, позволяющий устанавливать регрессионные приближения даже при неполной информации о происходящих явлениях на различных микроуровнях.

В общем задача оптимизации решается по соотношениям:

$$y_i = f_i(z_1, z_2, \dots, z_n) \rightarrow \max;$$

$$z_i = \bar{z}_i(z_1, z_2, \dots, z_n) = z_{opt},$$
(1)

где  $y_i$  — выходные параметры оптимизации;  $z_i$  — выходные плановые показатели;  $z_i$  — управляющие воздействия.

Эти модели процесса непосредственно не могут быть использованы для управления, т. к. они представляют собой зависимости выходных параметров от управляющих, в то время как для целей управления необходимо иметь зависимости управляющих параметров от входных возмущающих ( $x_i$ ).

Нами рассмотрена задача оптимизации применительно к процессу измельчения руд, что позволило разработать блок-схему автоматизации цикла экстремального регулирования в двухстадиальной схеме с соотношением мельниц 1:1 (рис. 1) [1—3].

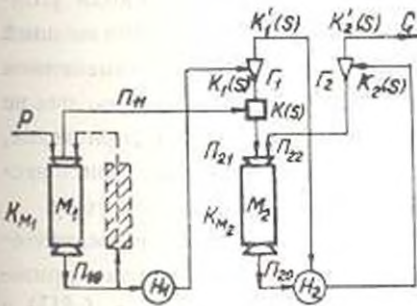


Рис. 1.

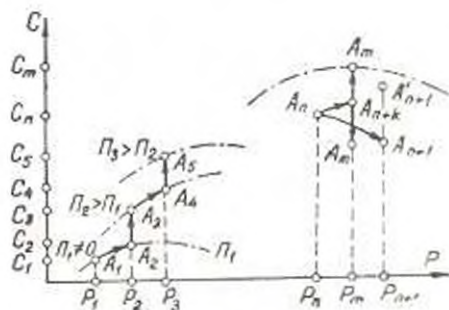


Рис. 2.

В общем виде выходное количество слива ( $C$ ) зависит от количества подаваемой руды ( $P$ ) и песков ( $\Pi$ ) на разных участках схемы. Последнее фактически означает, что слив ( $C$ ) зависит от количества руды ( $P$ ) и песков ( $\Pi$ ) на входе первой стадии, а также от их соотношения.

Можно показать, что

$$C = \frac{A_p(s)}{A_c(s)} P + \frac{A_n(s)}{A_c(s)} П, \quad (2)$$

где  $s$  — оператор, характеризующий символ производной;  $A_p$ ,  $A_n$ ,  $A_c$  — передаточные функции в схемах цепи аппаратов мельниц. Таким образом, действительно слив схемы однозначно зависит от компонент руды и песков на входе первой стадии.

Решение дифференциального уравнения (2) выражает экстремальное соотношение по двум переменным (руда и пески), поиск по которому рассмотрим ниже.

Экстремальное регулирование схемы связано с поиском максимума по скачкообразному изменению руды и песков на входе. В основу положен метод Зейделя-Гаусса для поиска максимума функции многих переменных. Поиск экстремума можно осуществить несколькими методами. Допустим, система находится в точке  $A$  и имеет какое-то соотношение руды и песков  $P_1:П_1$  (рис. 2). Производится скачкообразное увеличение количества руды от  $P_1$  до  $P_2$  при  $П_1 = \text{const}$  или песков от  $П_2$  и  $П_1$ . Количество измельченной пульпы на сливе может возрасти от  $C_1$  до  $C_2$  (переход в точку  $A_2$ ). Величина  $\Delta P = P_2 - P_1$  выбирается экспериментально, в общем случае  $\Delta P > 0$ . В точке  $A_2$  при неизменном количестве подаваемой руды, увеличивают количество песков на  $\Delta П = П_2 - П_1$ , причем,  $\Delta П > 0$ . После  $m$  шагов поиска с результатами  $C_1 < C_2 < \dots < C_m$  в итоге будет некоторое завершающее положение системы, допустим это  $A_m$ , и при любых  $\Delta P$  и  $\Delta П$  наблюдается  $\Delta C < 0$ , тогда эта точка будет экстремум системы, обеспечивающий

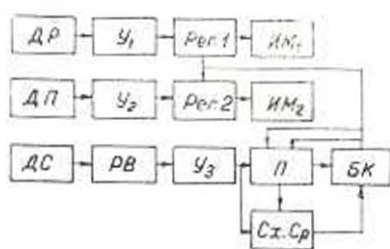


Рис. 3.

оптимальную производительность для данного технологического метода. В этой точке система может оставаться устойчиво и сколь угодно долго, пока по какой-либо внешней причине, связанной с изменением количества руды или песков, она не будет выведена в новое положение, откуда вновь продолжит поиск экстремума по указанному методу.

В качестве схемы автоматического поиска экстремума может быть рекомендована блок-схема, приведенная на рис. 3. На блок-схеме датчики руды (ДР), песок (ДП) и слива (ДС) выдают сигналы о количествах проходящих материалов. Эти сигналы усиливаются ( $У$ ) и поступают в последующие блоки. Сигнал о количестве слива записывается и хранится в памяти (П) для сравнения с последующим значением в блоке (Сх.Ср). В зависимости от знака сигнала рассогласования из блока команд (БК) поступают разрешения на приоткрывания каналов руды или песков. Управляющий сигнал поступает в блок регулировки (Рег) для включения исполнитель-

ного механизма (ИМ). От блока команд поступают разрешения в память (П) для записи или считывания сигнала. Завершение переходных процессов фиксируется реле времени (РВ).

НИГМИ

Поступило 26.VII.1971.

#### Л И Т Е Р А Т У Р А

1. Бородюк В. П. и Лецкий Э. К. Статистическое описание промышленных объектов. „Энергия“, М., 1971.
2. Шепелев Г. Д. Об автоматическом регулировании процесса измельчения руд в шаровых мельницах. „Колымча“, № 1, 1959.
3. Тихонов О. Н. Дрейф статических характеристик измельчительного агрегата при автоматическом регулировании. „Обогащение руд“, № 5, 1963.

*К вопросу определения эквивалентного числа оборотов при точении деталей с переменными размерами по длине обработки* Касьян М. В., Багдасарян Р. Г. «Известия АН Арм. ССР (серия Т. II)», т. XXV, № 1, 1972, 3—6

Приводится метод расчета эквивалентного числа оборотов при точении поверхностей с переменными размерами по длине обработки. Особенности метода состоят в том, что учитываются переменный диаметр обработки и, следовательно, скорости резания. Получены формулы, которые могут быть рекомендованы для технологических расчетов режимов резания.

Илл. 2. Библи. 4 назв.

УДК 629.11.012.57.319.2

*Вероятностный анализ взаимодействия гусеничной цепи с микропрофилем* Сирскинин Р. В., Согомолян Р. Х., Захарян Л. Б. «Известия АН Арм. ССР (серия Т. II)», т. XXV, № 1, 1972, 8—12

Методами теории вероятностей рассматривается взаимодействие гусеничной цепи с микропрофилем. Выведены зависимости, связывающие вероятностные характеристики гусеничной цепи с вероятностными характеристиками микропрофиля. Сделаны выводы по выбору оптимальной длины звена гусеничной цепи. Теоретически полученные результаты подтверждены экспериментально.

Илл. 5. Библи. 2 назв.

УДК 525.54+013.3+517.9

*Фильтрация жидкости в многослойных пластинах с переменными мощностями и коэффициентами фильтрации слабопроницаемых прослоек* Барсегиан Р. М. «Известия АН Арм. ССР (серия Т. II)», т. XXV, № 1, 1972, 13—18

В результате строгого решения дифференциальных уравнений фильтрации, написанных в отдельности для пластин с переменной и постоянной толщиной (при одних и тех же граничных условиях), предлагается методика для оценки величины ошибки, которая получается при осреднении мощностей водоносного пласта и толщины слабопроницаемого слоя.

Табл. 1. Илл. 1. Библи. 1 назв.

УДК 512.1+617.9

*Определение параметров жидкости в окрестности точки соединения фронтов волн методом Лэграсса* Гургенян А. А. «Известия АН Арм. ССР (серия Т. II)», т. XXV, № 1, 1972, 19—23

Рассматривается асимметричная задача о движении полупространства сжимаемой идеальной жидкости под действием ударной волны на твердых телах. Исследуются окрестности точки соединения волновых фронтов методом Лэграсса, который заключается в представлении искомых функций и величинных переменных в функции параметров  $\alpha$  и  $\beta$ , где  $\beta$  характеризует удаление точки от ударной волны, а  $\alpha$ -угловые расстояния. Решение задачи приводится к системе обыкновенных дифференциальных уравнений и находится численно. В малой окрестности точки соединения решение представлено в виде ряда по степеням  $\alpha$ , которое удовлетворяет условиям задачи включительно до второго порядка по  $\alpha$ .

Илл. 4. Библи. 8 назв.

*Расчет сжатия воздуха, заземленного в месте разрыва сплошности потока в трубопроводе* Маргарян А. Я. «Известия АН Арм. ССР (серия Т Н)», т. XXV, № 1, 1972, 29—34

Рассмотрен вопрос изменения давления в трубопроводе плоской сплошности при впуске и заземлении воздуха в местах образования разрыва сплошности потока. Получены формулы для определения максимального повышения давления при изотермическом и адиабатическом процессах сжатия воздуха. Показано, что впуск и заземление воздуха в месте разрыва сплошности потока снижает давление при этом разрыва, причем оно не превышает значения

Илл. 3. Библ. 2 назв.

УДК 621.317.727.2—59

*Анализ влияния нелинейностей на показания автоматических электрических компенсаторов* Мухомин С. Г. «Известия АН Арм. ССР (серия Т Н)», т. XXV, № 1, 1972, 35—40

В статье приводятся анализ влияния нелинейностей типа «зона нечувствительности» и «ограничения скорости движения указателя» автоматических компенсаторов на его показания при учете влияния линейной части прибора. Получены выражения для определения относительной ошибки или зоны нечувствительности на характер снижения указателя автоматического компенсатора в зависимости от амплитуды и частоты входного сигнала. Получены также выражения для определения амплитуды первой гармоники кинематического движения указателя прибора в зависимости от величины зоны нечувствительности при различных амплитудах входного сигнала частоты сигнала. Приведены графические зависимости.

Илл. 4. Библ. 3 назв.

УДК 621.313.32

*Индуктивное сопротивление дополнительной обмотки в синхронных машинах с возбуждением от третьей гармоники поля* Аманян С. Г., Арутюнян В. С. «Известия АН Арм. ССР (серия Т Н)», т. XXV, № 1, 1972, 41—46

Статья посвящена определению индуктивного сопротивления дополнительной обмотки в синхронных машинах с системой возбуждения от третьей гармоники поля. Рассмотрены различные варианты исполнения ротора машины. Приводятся выражения для определения индуктивного сопротивления дополнительной обмотки в различных вариантах. Дается сравнение расчетных значений индуктивных сопротивлений на макете.

Илл. 3. Библ. 3 назв.

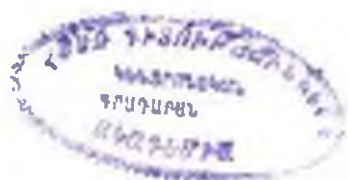
УДК 621.833.5

*Определение оптимальных параметров «статистически» колебательного движения, обеспечивающего приращение эффективности движения* Мкртчян Л. Б. «Известия АН Арм. ССР (серия Т Н)», т. XXV, № 1, 1972, 47—50

Равномерность хода ведомого звена допустимой погрешностью при соединении синусовых колебаний с колебательной функцией передаточного Подучена функция расчета относительной скорости ведомого звена от по-

стоянной величины, исследованием которой определяются неизвестные параметры механизма, обеспечивающего равномерности хода ведомого звена с заданной точностью в требуемых пределах

Илл. 3. Библ. 3 назв.



Технический редактор  
Л. А. АЗИЗБЕКЯН

ВФ 03689

изд. № 3722, заказ 94

тираж 510

Подписано к печати 21/IV 1972 г.

Печ. л. 3,63, бум. л. 1,82, уся печ. л. 5,1, уч. лзд. л. 3,81

Формат бумаги 70×108<sup>1</sup>/<sub>16</sub>.

Типография Издательства АН Арм. ССР, Ереван, Барекянутян, 24

## СОДЕРЖАНИЕ

### МАШИНОСТРОЕНИЕ

- М. В. Касьян, Р. Г. Багдасарян.* К вопросу определения эквивалентного числа оборотов при точении деталей с переменными размерами по длине обработки . . . . . 3
- Р. В. Сирекянц, Р. Х. Созомлян, Л. Б. Захарян.* Вероятностный анализ взаимодействия гусеничной ленты с микропрофилем . . . . . 8

### ГИДРАВЛИКА

- Г. М. Барсегян.* Фильтрация жидкости в слоистых пластках с переменными мощностями и коэффициентами фильтрации слабопроницаемых прослоек . . . . . 13
- А. А. Гургенян.* Определение параметров жидкости в окрестности точки соединения фронтов волн методом Лаграса . . . . . 19
- А. Я. Маркарян.* Расчет сжатия воздуха, защемленного в месте разрыва сплошности потока в трубопроводе . . . . . 29

### ИЗМЕРИТЕЛЬНАЯ ТЕХНИКА

- Р. С. Мекмян.* Анализ влияния нелинейностей на показания автоматических электронных компенсаторов . . . . . 35

### ЭЛЕКТРОТЕХНИКА

- С. Г. Аманян, В. С. Арутюнян.* Индуктивное сопротивление дополнительной обмотки в синхронных машинах с возбуждением от третьей гармоники поля . . . . . 41

### НАУЧНЫЕ ЗАМЕТКИ

- Л. Б. Мкртчян.* Определение оптимальных параметров эллиптических колес механизмов, воспроизводящих приближенно-рациональное движение . . . . . 47
- А. А. Григорян, Г. М. Григорян.* Об экстремальном регулировании процесса измельчения руд . . . . . 51

Ր Ո Վ Ա Ն Կ Ա Կ Ո Ւ Թ Յ Ո Ւ Ն

Մ Ն Բ Ն Ա Շ Ի Ն Ո Ւ Թ Յ Ո Ւ Ն

Մ. Վ. Կոսյան, Ռ. Գ. Ռազդասարյան. Մշակման երկարության ուղղությամբ փոփոխական շափեր ունեցող ղեկտրոնների շրջատաշման ղեկարմ համարմեք պտույտաթվերի որոշման հարցի շուրջը . . . . .	3
Ռ. Վ. Սիրեկաեյան, Ռ. Կ. Սողամոնյան, Լ. Ս. Չախարյան. Թրթուրավոր շղթայի և հողի անհարթությունների փոխազդեցությունների հավանականական վերլուծություն . . . . .	8

Հ Ո Գ Ր Ա Վ Ա Կ Ա

Ի. Մ. Բաբսկյան, Հեղուկի ֆիյորացիան փոփոխական հորություն և ֆիյորացիայի զործակից ունեցող վատ թափանցող միջնաշերտերով շերտավոր հողաշերտերում . . . . .	13
Ս. Ա. Գուրգենյան, Հեղուկի շարժման պարամետրների որոշումը այրիների հատման կետի մաս Լեզրասի մեթոդով . . . . .	29
Ա. Յա. Մաբգուրյան, Խողովակաշարում հոսանքի անընդհատության խզման տեղում խրջանված ազի սեղմելիության հաշվումը . . . . .	29

Զ Ա Փ Ո Ղ Ա Կ Ա Ն Տ Ն Ե Ն Կ Ա

Ռ. Ս. Մեֆեյան, Լվտամառ էլեկտրոնային համակշռողների ցուցմունքների վրա ուղծայնությունների ազդեցության վերլուծություն . . . . .	35
---	----

Է Լ Ն Կ Տ Ր Ա Տ Ն Ե Ն Կ Ա

Ս. Գ. Համամյան, Վ. Ս. Հաբոյանյան, Գաշտի երրորդ հարմոնիկայից սեփող զրգոման սխառնմով սինխրոն մեթոնայի լրացուցիչ փաթույթի ինդուկտիվ դիմադրությունը . . . . .	41
---	----

Գ Ի Տ Ա Կ Ա Ն Կ Ո Ւ Թ Յ Ո Ւ Ն

Լ. Բ. Լեկոշյան, Մոտավոր համասարաչափ շարժում բնդօրինակող մեխանիզմների կլիպտիկ առամանիվների օպտիմալ պարամետրների սրոշումը . . . . .	47
Ա. Ա. Կրիկորյան, Փ. Ս. Քրիկորյան, Հանքարարի աղացման սյուրեկի Լքստրեմալ կարգավորման վերաբերյալ . . . . .	51